

Vol. 14. No. 5. 1966

КФИ

KÖZLEMÉNYEK

ОБОЩЕНИЯ ЦЕНТРАЛЬНОГО ИНСТИТУТА ФИЗИЧЕСКИХ ИССЛЕДОВАНИЙ

REPORTS OF THE CENTRAL RESEARCH INSTITUTE FOR PHYSICS

Szerkeszti: Ádám András
Главный редактор: А. Адам
Editor: A. Ádám

A KÖZPONTI FIZIKAI KUTATÓ INTÉZET KIADÓI CSOPORTJA
ИЗДАТЕЛЬСКАЯ ГРУППА ЦЕНТРАЛЬНОГО ИНСТИТУТА ФИЗИЧЕСКИХ ИССЛЕДОВАНИЙ
PUBLISHING GROUP OF THE CENTRAL RESEARCH INSTITUTE FOR PHYSICS
BUDAPEST, 114. POB 49.

Technikai szerkesztő: Nagy Imréné
Megjelent: 1966. okt. 5.

Példányszám: 320
Rotaszám: 2778

A kiadásért felelős: Jánossy Lajos

Megjelenik: kéthavonta
Előfizethető: az MNB 100.015-70 bevételi számlán
Előfizetési díj: egyes szám 5,-Ft, egy évre: 30,-Ft /6 szám/

KFKI

KÖZLEMÉNYEK

T A R T A L O M

1. Tompa Kálmán és Tóth Ferenc: Szilárd dimetilanilin fiziko-kémiai vizsgálata 2. Proton mágneses rezonancia spektrum 283
2. Dolinszky Tamás: A formális szóráselmélet és a csatornaelméletek kapcsolata 287
3. Németh Géza: Bessel-függvények Csebisev-sorfejtése II. $J_p(x)$ és $K_p(x)$ 299
4. Biri János és Deme Sándor: Hurst-típusú proporcionális számláló és digitális kiértékelő berendezés gyorsneutronok abszolút dózisének mérésére 311
5. Gombos Péter, Roósz József és Vályi László: Rádiófrekvenciás negatív hidrogén ionforrás vizsgálata 325
6. Roósz József, Gombos Péter és Vályi László: Nagyintenzitású rádiófrekvenciás ionforrás vizsgálata 333

Резюме

1. Исследование твердого диметиланилина методом протонного магнитного резонанса

К. Томпа и Ф. Тот

Измерения ядерного магнитного резонанса в твердом поликристаллическом диметиланилине были проведены в диапазоне температур $-190 \dots -1,5^\circ\text{C}$. Сравнивая измеренные и оцененные вторичные моменты, мы пришли к выводу, что в испытанном диапазоне температур группы CH_3 претерпевают реориентировочное движение вокруг C_z осей.

2. О связи формальной теории рассеяния с каналowymi теориями ядерных реакций

Т. Долински

Для амплитуды рассеяния, определяющей дифференциальное эффективное сечение, формальная теория рассеяния (ФТР) и каналовые теории реакций (КТЯР) дают разные определения и разные аналитические формулы. Так как эти два основных метода теоретического описания ядерных реакций пользуются полностью различными понятиями, непосредственное сравнение их аналогичных понятий кажется целесообразным. Показано, что для упругого рассеяния транзитный матричный элемент ФТР точно совпадает с матричным элементом столкновения КТЯР, если взаимодействие имеет конечный радиус действия. В случае ядерных реакций совпадение отсутствует даже при элементарном взаимодействии с конечным радиусом действия. Разница двух матричных элементов дана в аналитической форме. Причина этого различия заключается в присутствии поляризационных сил во внешней области. Различие понятия матричного элемента рассеяния в двух теориях в случае проблемы многих тел надо учитывать при вычислении дифференциального эффективного сечения.

3. Разложение функции Бесселя по методу Чебышева II

Г. Немет

В работе дано определение разложений функции Бесселя $J_\nu(x)$ и $K_\nu(x)$ по Чебышеву. Эти разложения с точки зрения их более сильной сходимости при практических расчетах являются целесообразными. При $0 < x \leq \alpha$ сходимости рядов Чебышева примерно на 4^{-n} быстрее, чем у соответствующего ряда Тейлора. Ряды Чебышева, относящиеся к случаю $x \geq \alpha$ являются сходящимися. /В противоположность обыкновенным расходящимся асимптотическим выражениям/. Для определения коэффициентов разложений выведены рекурсионные формулы. В приложении коэффициенты разложений по Чебышеву для $J_k(x)$ и $I_k(x)$ даны (содержащие функцию Бесселя) в явной форме.

4. Пропорциональный счетчик Херста и цифровой интегратор для измерения абсолютной дозы быстрых нейтронов

И. Бари и Ш. Деме

Были рассмотрены условия измерения абсолютной дозы быстрых нейтронов в ткани и был описан счетчик типа Херста, построенный в нашей лаборатории. Дается подробная схема цифрового интегратора амплитуд, построенная специально для вышеупомянутого счетчика. В заключение рассматривается область применения систем.

5. Исследование радиочастотного отрицательного водородного ионного источника

И. Гомбош, Й. Роос и Л. Вали

Исследовали радиочастотный отрицательный ионный источник. Перезарядки были проведены с помощью газовой мишени H_2 , образовавшейся в вытягивающем электроде с длинным каналом. Интенсивность пучка H^- с энергией 18 кэВ, выходящего из источника, составляет 9 мкА, распределение энергии - 400 эВ, растирание пучка 11 мрад и расход газа $20 \text{ см}^3/\text{час}$. Ионный источник работает больше 500 часов.

6. Исследование радиочастотного ионного источника с большой интенсивностью

Й. Роос, И. Гомбош и Л. Вали

В работе описывается радиочастотный ионный источник с большой интенсивностью и длительным сроком службы, работающий в непрерывном режиме, дающий положительные водородные ионы и исследование его рабочих характеристик. На основании измерений, дается данные оптимального действия: ионный ток водорода 10 мА, расход газа $30 \text{ см}^3/\text{час}$ H_2 , мощность 100 мВт р.ч. и вытягивающее напряжение 8 кВ.

S u m m a r i e s

1. Proton Magnetic Resonance Study of Solid Dimethylaniline

K. Tompa, F. Tóth

Nuclear magnetic resonance measurements have been performed on solid polycrystalline dimethylaniline at temperatures from -190 to -1.5 °C. Comparison of the measured and estimated second moments permits to infer a reorientation of the CH_3 groups around their C_3 axis in the temperature range covered by the measurement.

2. Comparison of the Formal Theory of Scattering with the Channel Approach

T. Dolinszky

The scattering amplitude is defined by analytical expressions formulated differently in terms of the theory of scattering and in terms of the channel approach. The comparison of the analogue concepts shows that the transition matrix element of the formal theory of scattering is fully reproduced by the collision matrix element of the channel approach in the case of elastic scattering by a finite range central force. For nuclear reactions the matrix elements are seen to differ even for two-nucleon interactions of finite range. The difference between the two matrix elements is presented in an analytical form, and it is shown to be due to the presence of polarization forces in the external region.

3. Chebyshev Expansion of Bessel Functions II. $I_\nu(x)$ and $K_\nu(x)$.

G. Németh

Appropriate Chebyshev expansions for the Bessel functions $I_\nu(x)$ and $K_\nu(x)$ are determined. These expansions are rather useful in practical calculations because of their high convergence. For $0 < x \leq a$ the convergence of the Chebyshev series is obtained earlier by a term of about 4^{-n} as compared with the corresponding Taylor expansion. The Chebyshev series for $x \geq a$ are convergent contrary to the usually employed divergent asymptotical expressions. A recursion formula is derived for the evaluation of the expansion coefficients. In the Appendix the Chebyshev expansion coefficients for $J_k(x)$ and $I_k(x)$ are given in closed form containing Bessel function.

4. Hurst-type Proportional Counter with Digital Equipment for the Evaluation of Absolute Dose of Fast Neutron

J. Biri and S. Deme

The conditions for the measurement of the absolute dose of fast neutrons in tissues are investigated and the design and performance characteristics of a Hurst-type proportional counter built by the authors are discussed. The digital pulse amplitude integrator developed and used in conjunction with the counter is described in detail. Finally the possible applications of the equipment are considered.

5. Investigation of a Radiofrequency Negative Hydrogen Ion Source

P. Gombos, J. Roósz, L. Vályi

Investigations of a radiofrequency negative ion source are described. The exchange is performed by H₂ gas target formed in the extracting electrode with a long extraction channel. The H⁻ beam extracted from the source emerges with 18 KeV energy, 9 μ A intensity, the width of the energy spectrum being 300 eV, its angular scattering 11 mrad for gas consumption of 20 cm³/h. The lifetime of the ion source exceeds 500 hours.

6. Investigation of a High Intensity Radiofrequency Ion Source

J. Roósz, P. Gombos, L. Vályi

The development of a high intensity radiofrequency ion source with a positive hydrogen ion yield is described. The source can be continuously operated and has a long lifetime. Investigation of its operational characteristics shows the optimum obtainable hydrogen ion current to be of 10 mA intensity for 30 cm³/h gas consumption at atmospheric pressure, 140 W radiofrequency output and 8 kV extracting voltage.

SZILÁRD DIMETILANILIN FIZIKO-KÉMIAI VIZSGÁLATA 2. PROTON MÁGNESES REZONANCIA SPEKTRUM

Irta: Tompa Kálmán és Tóth Ferenc

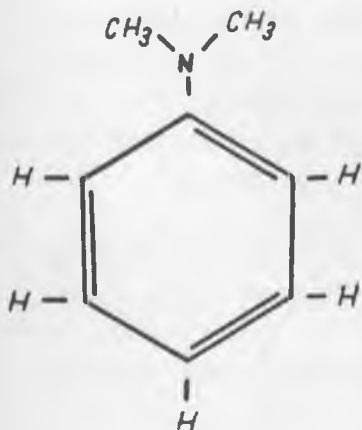
Összefoglalás

Mag mágneses rezonancia méréseket végeztünk szilárd, polikristályos dimetilanilinen $-190 \dots -1,5 \text{ C}^\circ$ hőmérséklettartományban. A mért és becsült második momentumok összehasonlítása alapján az a következtetés vonható le, hogy a CH_3 csoportok C_3 tengelyük körüli reorientációs mozgás végeznek a vizsgált hőmérséklettartományban.

Bevezetés

Nagyon jól ismert, hogy a proton mágneses rezonancia jel szélességét és momentumait a szomszédok által keltett dipól-tér határozza meg. Így a vonalszélesség függ a molekula- és kristályszerkezettől, továbbá a szilárd fázisban végbemenő molekuláris, atomi mozgások jellegétől. A molekuláris mozgás rezonancia jel keskenyedést /"mozgási keskenyedés"-t/ idéz elő, részben vagy egészen kiátlagolva a szomszédos magdipólok által keltett mágneses teret.

Méréseink célja a szilárd fázisban végbemenő molekuláris mozgások tanulmányozása. A molekula szerkezeti képlete alapján /lásd 1. ábra/ feltételezhető legalább két mozgástípus előfordulása a szilárd fázisban; az egyik a CH_3 csoportok reorientációja C_3 tengelyük körül, a második a molekuláris diffúzió, ami az olvadáspont környékén játszik fontos szerepet.



1. ábra

Dimetilanilin szerkezeti képlete

Kísérleti berendezés és anyagminta

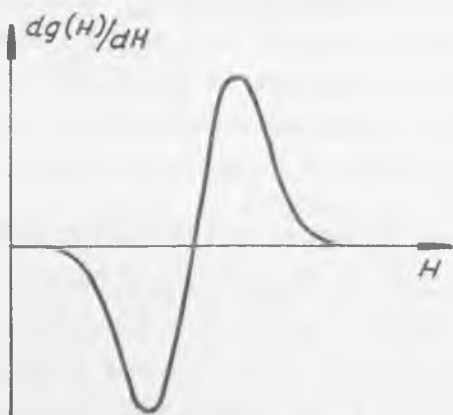
A méréseket [1][2] -ben ismertetett oszcillátor típusú, térmodulációs rendszerű, széles-jelű MMR spektrométerrel végeztük

16,000 Mc/s frekvencián. A Newport D-típusú elektromágnes terét háromszögjel generátorral automatikusan változtattuk, a kalibrálást az ^1H és ^7Li magok rezonancia jelének a felhasználásával végeztük. A térmoduláció 280 c/s frekvencián történt. Frekvenciamérésre RACAL SA 505 D /SA 512/ típusú digitális frekvenciaszámlálót használtunk. A Robinson-típusú oszcillátorról levett rezonancia jelet erősítés és fázisérzékeny egyenirányítás után Graphispot GRVAT regisztrálón vettük fel.

Az anyagminta hőmérsékletének szabályozására és változtatására gáz-áramos hőmérsékletszabályzó rendszert [3] használtunk. A minta hőmérsékletét rézkonstantán termopárral mértük, a mérés becsült pontossága $1\text{ }^\circ\text{C}$ -on belül van. A rendszer hőmérséklet stabilitása néhány tized $^\circ\text{C}/\text{óra}$. A polikristályos dimetilanilin minta lezárt üvegcsőben a gázáram közepén helyezkedett el. Az anyagminták elkészítésének ismertetése Kósa Somogyi István KFKI Közl. 14, 6 /1966/ cikkében található.

Eredmények és értelmezésük

A MMR abszorpciós jelek mágneses tér szerinti deriváltját $-190 \dots -1,5\text{ }^\circ\text{C}$ tartományban vettük fel. A kapott derivált jelek finomszerkezetet nem mutatnak /2. ábra/.



2. ábra

Proton mágneses rezonancia jel dimetilanilinban

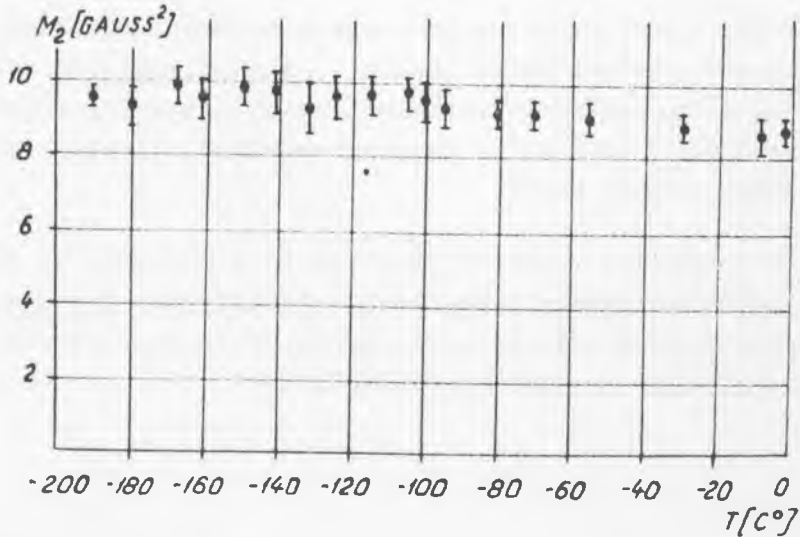
hogy sem a kristály, sem a molekulaszervezet nem ismert, csak becsülni tudjuk a második momentumot.

A derivált jel maximuma és minimuma között mért vonalszélesség független a hőmérséklettől, értéke $7,5 \pm 0,1\text{ G}$.

A második momentumok kísérleti értékét a jól ismert definíció alapján /lásd pl [4] / GIER-típusú számítógéppel határoztuk meg, és korrigáltuk a véges modulációs amplitudó következtében fellépő kiszélesedésre [5]. 6 - 10 mérés átlagértékét és a statisztikus hibáját ábrázoltuk a 3. ábrán.

Az elméleti második momentum a Van Vleck összefüggés alapján /lásd pl. [4] / számolható ki. Tekintettel arra,

Feltételeztük, hogy a H-H távolság a molekula $\text{C}_6\text{H}_5\text{N}$ részében ugyanaz mint benzolban, azaz $2,49\text{ \AA}$ [6], a CH_3 csoportokban pedig



3. ábra

A MMR jel második momentumának hőmérsékletfüggése dimetilanilinben

1,78 ... 1,79 Å [7][8]. A molekulán belüli atommagoktól származó járulék alsó határát becsültük csak meg, mert nem ismertük a CH₃ csoportok egymáshoz és a molekula többi részéhez viszonyított elhelyezkedését; és így nem számítottuk ki a CH₃ csoportok egymás közötti és a C₆H₅N molekula részével való kölcsönhatásból származó momentum járulékot. A kapott érték: 13,1 G². Feltételeztük továbbá, hogy a szomszédos molekulákkal való kölcsönhatásból származó járulék értéke ugyanaz, mint a hasonló o-, m-, p-xilolban [9], tehát ~5,3 G².

A merev kristályrácsban lévő protonok második momentumára tehát az alábbi feltétel adható:

$$M_2^{\text{merev}} > 18,4 \text{ G}^2.$$

A CH₃ csoportok C₃ tengelyük körüli, gyors reorientációja esetén a molekulán belüli járulék negyedére csökken [10], a molekulák közötti járulék pedig feltehetően [9] 70 %-a a merev rácsbelinek. Ekkor

$$M_2^{\text{CH}_3 \text{ reorient.}} > 7,8 \text{ G}^2.$$

A kísérleti értékek a két határ közé esnek, amiből gyors CH₃ reorientációra következtethetünk. A C₃ tengely körüli reorientáció már

-190 C⁰-on elég gyors ahhoz, hogy mozgási keskenyedést okozzon, megindulása alacsonyabb hőmérsékleten történik. A reorientációs mozgás a vizsgált hőmérséklettartományban mindenütt változatlanul fennáll. A második momentum kismértékű csökkenése magasabb hőmérsékleteken valószínű a kristályrács hőtágulásából ered.

Köszönetünket fejezzük ki Erőné Gécs Máriának és Kósa Somogyi Istvánnak, amiért a kérdés vizsgálatára felhívták a figyelmünket, valamint az anyagminták elkészítéséért, Bánki Péternek a mérésekben és numerikus kiértékelésben nyújtott segítségéért.

I r o d a l o m

- [1] Tompa, K., Tóth, F.: Magyar Fizikai Folyóirat 11, 177 /1963/
- [2] Tompa K., Tóth, F.: KFKI Közl. 11, 215 /1963/
- [3] Balla, J., Tompa K., Tóth F.: Mérés és Automatika, megjelenés alatt
- [4] Pake, G.E.: Solid State Physics 2, 1 /1956/
- [5] Andrew, E.R.: Rev. 91, 425 /1953/
- [6] Andrew, E.R., Eades, R.G.: Proc. Roy. Soc. 218, 537 /1953/
- [7] Smith, G.W.: J.Chem. Phys. 42, 4229 /1965/
- [8] Yukitoshi, T., Suga, H., Seki, S., Itoh, J.: J. Phys. Soc. Japan 12, 506 /1957/
- [9] Andrew, E.R.: J. Chem. Phys. 18, 607 /1950/
- [10] Gutowsky, H.S., Pake, G.E.: J. Chem. Phys. 18, 162 /1950/

Érkezett: 1966. jul. 12.

KFKI Közl. 14.évf. 5.szám, 1966.

A FORMÁLIS SZÓRÁSELMÉLET ÉS A CSATORNAELMÉLETEK KAPCSOLATA

Irta: Dolinszky Tamás

Összefoglalás

A differenciális hatáskeresztmetszetet megszabó szórásai amplitudóra a formális szóráselmélet és a csatornaelméletek különböző definíciót és eltérő analitikus formulát adnak meg. Mivel a magreakciók elméletének ez a két alapvető tárgyalási módja egészen különböző fogalomkörben dolgozik, szükségesnek látszik analóg fogalmaikat közvetlenül összehasonlítani. A vizsgálat szerint rugalmas szórás esetére a szóráselméleti tranzitmátrixelem pontosan megegyezik a csatornaelmélet ütközési mátrixelemével, amennyiben a kölcsönhatás véges hatótávolságú. Magreakciók esetén még végeshatótávolságú elemi kölcsönhatás mellett sincs egyezés. Analitikus alakban megadtuk a két mátrixelem eltérését. A különbözőség oka polarizációs erők jelenléte a külső tartományban. A két elmélet szórásai mátrixelem-fogalmának eltérő alakulása soktestprobléma esetére a differenciális hatáskeresztmetszet kiszámításánál figyelembe veendő.

1/ Bevezetés

Rövidhatótávolságú elemi kétest-kölcsönhatás esetén pontrendszerek szórásproblémájának két független stacionárius tárgyalási módja a formális szóráselmélet és a csatornamódszer. A két eljárás merőben különböző fogalmakkal dolgozik. A szóráselmélet a reakciót leíró $\Psi(r, E)$ stacioner hullámfüggvényhez a kezdő és végkölcsönhatás exponenciális - adiabtikus ki- ill. bekapcsolódásával rendeli hozzá a kölcsönhatásmentes kezdő- és végállapotot. A korrespondáló fogalmak a csatornaelméletekben a beeső és a szórt hullám. A $\Psi(r, E)$ szórásállapot a csatornatarományokban bármelyikében "egy rögzített szeparációnak megfelelő relativ mozgásban síkhullám + a csatorna-szeparáció szerinti relativ mozgásban kifutó gömbhullám" összetételű; a síkhullám-komponenst a belső tartományra tovább definiálva jutunk a beeső hullám fogalmára; ez független lesz a kiindulásul választott csatorna-szeparációtól. A beeső hullám komplementere a teljes hullámképben az egész konfigurációs térben értelmezett szórt hullám.

A szórás matrixelem fogalma is egészen más uton alakul a két módszerben. A szóráselmélet megfelelő fogalma a tranzit-mátrix, amely a lehetséges kezdő - és végállapotok közt létesít átmenetet. A csatornaelméletekben a szórt hullám és a beeső hullám amplitudóinak arányával definiáljuk az ütközési mátrixot.

Míg a szóráselméleti fogalmak egy mesterséges időbeli viselkedés aszimptotikája segítségével értelmezhetők, addig a csatornaanalízis a konfigurációs térbeli aszimptotikával vezeti be fogalmait. A közvetlenül mérhető mennyiségek, így a differenciális hatáskeresztmetszet, a térbeli aszimptotikával van közeli kapcsolatban. A két egyenrangú tárgyalásmód közötti kapcsolat tisztánlátása nem csak elvi okokból érdekes: a hatáskeresztmetszetnek szóráselméleti kiszámítása ezen az uton alapozható meg.

2/ Az állapotok korrespondenciája

A korrespondáló állapotok tekintetében csak kitűzzük a feladatot. A szóráselmélet kezdő- ill. végállapota a Møller-operátorok segítségével az

$$\phi_{initial}(\underline{r}, E) \equiv Q_{\alpha}^{-1} \psi = \left(1 + \frac{1}{E - H + i\epsilon} V_{\alpha} \right)^{-1} \psi(\underline{r}, E) \quad 111$$

$$\phi_{final}(\underline{r}, E) = Q_{\beta}^{-1} \psi = \left(1 + V_{\beta} \frac{1}{E - H + i\epsilon} \right) \psi(\underline{r}, E) \quad 121$$

alakban írhatók.

A csatornaelméletekben a beeső és szórt hullám bevezetése így történhet. Ha a szórás állapot - legáltalánosabb esetet véve - a külső térben

$$\psi(\underline{r}, E) = \sum_{\alpha} \sum_{a(\alpha)} c_{\alpha} \left[e^{i k_{\alpha} r_{\alpha}} \chi_{\sigma_{\alpha}}^{A s_{\alpha}}(\underline{r}_{\alpha}) + \sum_{\beta} \sum_{b(\beta)} f_{\beta a}(E) \frac{e^{i k_{\beta} r_{\beta}}}{r_{\beta}} \chi_{\sigma_{\beta}}^{B s_{\beta}}(\underline{r}_{\beta}) \right] \quad 131$$

alakú, akkor a beeső és szórt hullám az egész konfigurációs térben

$$\phi_{inc}(\underline{r}, E) \equiv \sum_{\alpha} \sum_{a(\alpha)} c_{\alpha} e^{i k_{\alpha} r_{\alpha}} \chi_{\sigma_{\alpha}}^{A s_{\alpha}}(\underline{r}_{\alpha}) \quad 141$$

$$\phi_{scat}(\underline{r}, E) \equiv \psi(\underline{r}, E) - \sum_{\alpha} \sum_{a(\alpha)} c_{\alpha} e^{i k_{\alpha} r_{\alpha}} \chi_{\sigma_{\alpha}}^{A s_{\alpha}}(\underline{r}_{\alpha}) ;$$

az összegezés a megfelelő α, β szeparációkhoz tartozó valamennyi /nyitott és zárt/ csatornára vonatkozik.

Tisztázandó az ugyanazon $\psi(\mathcal{L}E)$ szórásállapothoz tartozó szóráselméleti és csatornaelméleti fogalmak, azaz α

$$\Phi_{initial}(\psi) \quad \text{és} \quad \Phi_{inc}(\psi) \quad 161$$

továbbá a

$$\Phi_{final}(\psi) - \Phi_{initial}(\psi) \quad \text{és} \quad \Phi_{scat}(\psi) \quad 171$$

közi megfelelés. E kapcsolatok vizsgálata meglehetősen bonyolultnak ígérkezik és most nem is foglalkozunk velük; egyszerűbb alapot nyújt a két struktúra összehasonlítására a szórási amplitudó fogalma.

3/ A szórási mátrixok rugalmas szórás esetén

Összehasonlítjuk a csatornaelméletek $U_\ell(k)$ ütközési mátrixát a szóráselmélet $T_\ell(k)$ tranzitmátrixával. Az ütközési mátrixelemet az $u_\ell^o(r, k)$ a szórási állapotnak az $\tau = \rho$ csatornabejáraton tanúsított viselkedés alapján így kapjuk meg:

$$U_\ell(k) = \frac{W_{r=\rho} \{u_\ell^o(r, k); w_\ell^o(r, k)\}}{W_{r=\rho} \{u_\ell^i(r, k); w_\ell^i(r, k)\}} + 1 \quad 181$$

Az itt szereplő hullámfüggvényeket az

$$u_\ell'' + \left[k^2 - \frac{2m}{r^2} V(r) - \frac{\ell(\ell+1)}{r^2} \right] u_\ell(r, k) = 0, \quad 191$$

$$w_\ell'' + \left[k^2 - \frac{\ell(\ell+1)}{r^2} \right] w_\ell(r, k) = 0 \quad 1101$$

differenciálegyenletek és az

$$u_\ell(r=0, k) = 0, \quad 1111$$

$$w_\ell(r \rightarrow \infty, k) \sim \sin \left(kr + \ell \frac{\pi}{2} \right), \quad 1121$$

$$w_l^+(r \rightarrow \infty, k) \sim e^{i(kr + l\frac{\pi}{2})} \quad /13/$$

határfeltételek az $u_l^o(r, k)$ -nek itt közömbös normája és fázisa kivételével egyértelműen meghatározzák.

Szóráselméleti tranzitmátrixelemként a

$$T_l(k) \equiv \int w_l^o(r, k) \dot{T}(k) w_l^o(r, k) dr \quad /14/$$

kifejezést vezetjük be; mint látható lesz, ez a definíció áll legközelebb az $U_l(k)$ fogalmához. A síkhullámok Rayleigh-sorfejtéséből a /14/ definíció mellett azonnal következik, hogy

$$\langle e^{ik_b \zeta} | \dot{T}(k) | e^{ik_a \zeta} \rangle = \sum_{l=0}^{\infty} (2l+1) T_l(k) P_l(\cos(k_b \hat{k}_a)) \quad /15/$$

Másrészt, a tranzitoperátor síkhullámok közötti mátrixelemének ismert kapcsolata a potenciállal és a szórási állapottal:

$$\langle e^{ik_b \zeta} | \dot{T}(k) | e^{ik_a \zeta} \rangle = \langle e^{ik_b r} | V(r) \psi_{k_a}^+(\zeta, E) \rangle, \quad /16/$$

ahol a szórásállapot normálását az aszimptotikának a

$$\psi_{k_a}^+(\zeta, E) \underset{r \rightarrow \infty}{\sim} e^{ik_a \zeta} + \text{tisztán kifutó gömbhullám} /17/$$

előírása szabja meg.

A /14/ definiálta tranzitmátrixelemnek a potenciállal való kapcsolatát /15/, /16/ és /17/ alapján

$$T_l(k) = \int_0^{\infty} w_l^o(r, k) V(r) u_l^o(r, k) dr \quad /18/$$

alakban adhatjuk meg, ahol az u_l^o parciális szórásállapotot a

$$\psi_{k_a}^+(r, E) \equiv 4\pi \sum_{l, m} i^l \frac{1}{r} u_l^o(r, k) Y_m^l(\hat{r}) Y_m^l(\hat{k}) \quad /19/$$

azonosság fázis és normálás tekintetében is már egyértelműen definiálja. A parciális szórásállapot viselkedése a csatornatartományban /17/ és /19/ következtében:

$$u_\ell^\circ(r, k) = w_\ell^\circ(r, k) + \text{konst} \cdot w_\ell^+(r, k), \quad r > \rho. \quad /20/$$

Az így leszarmaztatott aszimptotika a későbbiekben döntő szerephez jut.

A tranzitmátrix /18/ alakjából kiindulva /9/ figyelembevételével parciális integrálással a

$$T_\ell(k) = \left[w_\ell^\circ u_\ell^{\circ(\prime\prime)} \right]_{r=0}^\rho - \int_0^\rho \left[w_\ell^{\circ(\prime)} + \left(k^2 - \frac{\ell(\ell+1)}{r^2} \right) w_\ell^\circ u_\ell^\circ \right] dr \quad /21/$$

relációt kapjuk. Ujabb parciális integrálással a

$$T_\ell(k) = \left[w_\ell^\circ u_\ell^{\circ(\prime\prime)} - w_\ell^{\circ(\prime\prime)} u_\ell^\circ \right]_0^\rho + \int_0^\rho u_\ell^\circ \left[w_\ell^{\circ(\prime\prime)} + \left(k^2 - \frac{\ell(\ell+1)}{r^2} \right) w_\ell^\circ \right] dr \quad /22/$$

egyenletre jutunk. A /10/ differenciálegyenlet felhasználásával és a Wronski-determináns bevezetésével a

$$T_\ell(k) = W_{r=\rho} \left\{ w_\ell^\circ(r, k); u_\ell^\circ(r, k) \right\} \quad /23/$$

formulához jutunk. Másrészt a /20/ aszimptotika segítségével

$$W_{r=\rho} \left\{ u_\ell^\circ; w_\ell^+ \right\} = W_{r=\rho} \left\{ w_\ell^\circ; w_\ell^+ \right\} \quad /24/$$

adódik; a determináns /12/ és /13/ alapján kiszámítható:

$$W_{r=\rho} \left\{ u_\ell^\circ(r, k); w_\ell^+(r, k) \right\} = -k \quad /25/$$

A /23/ és /25/ formulák egyesítésével kapjuk:

$$T_\ell(k) = -k \frac{W_{r=\rho} \left\{ w_\ell^\circ(r, k); u_\ell^\circ(r, k) \right\}}{W_{r=\rho} \left\{ w_\ell^+(r, k); u_\ell^\circ(r, k) \right\}}. \quad /26/$$

A most már hasonló alakú tranzit- és ütközési mátrixelemek kapcsolata /8/ és /26/ szerint

$$T_\ell(k) = k [1 - U_\ell(k)] \quad /27/$$

Ezzel megkaptuk a szóráselméleti és csatornaelméleti szórási mátrixfogalmak kapcsolatát; a két fogalom, a problémától és a parciális hullám rendjétől független k tényezőtől eltekintve, azonos.

4/ A szórási mátrixok soktestproblémájában

A csatornaelméletek ütközési mátrixeleme a ψ_a^* reakcióállapotnak az $\zeta_\alpha = \zeta_\alpha, \zeta_\beta = \zeta_\beta$ csatornabejáratok környezetében mutatott viselkedéséből úgy számítható ki:

$$U_a^b(E) - \delta_{ba} = \frac{k_a}{k_b} \frac{W_{\beta B}}{W_{\beta \alpha}} \frac{\{ \langle Y_{\lambda b}^{l_b} X_{\sigma_b}^{B s_b} | \zeta_\beta \psi_a^* \rangle_{\zeta_\beta \zeta_\beta} ; W_{\zeta_b}^0 \}}{\{ \langle Y_{\lambda a}^{l_a} X_{\sigma_a}^{A s_a} | \zeta_\alpha \psi_a^* \rangle_{\zeta_\alpha \zeta_\alpha} ; W_{\zeta_a}^+ \}} \quad |28/$$

Itt $|a\rangle \equiv |\zeta_\alpha s_\alpha I_\alpha \sigma_\alpha A\rangle$ a kezdőállapot; $|\beta\rangle \equiv |\zeta_b \lambda_b s_b \sigma_b B\rangle$;

$$H = -\frac{\hbar^2}{2\mu_\alpha} \Delta_\alpha + H_\alpha(\zeta_\alpha) + V_\alpha(\zeta_\alpha, \zeta_\alpha) \quad |29/$$

$$= -\frac{\hbar^2}{2\mu_\beta} \Delta_\beta + H_\beta(\zeta_\beta) + V_\beta(\zeta_\beta, \zeta_\beta), \quad |30/$$

ahol H_α, H_β a két szeparáció részrendszerének belső Hamilton-operátora; végül a teljes rendszer Schrödinger-egyenlete

$$H \psi_a^*(\zeta, E) = E \psi_a^*(\zeta, E); \quad |31/$$

a szeparált rendszerek belső mozgásáé:

$$H_\alpha X_{\sigma_a}^{A s_a}(\zeta_\alpha) = \epsilon_A X_{\sigma_a}^{A s_a}(\zeta_\alpha); \quad \langle X_{\sigma_a}^{A s_a} | X_{\sigma_a}^{A s_a} \rangle = 1; \quad |32/$$

$$H_\beta X_{\sigma_b}^{B s_b}(\zeta_\beta) = \epsilon_B X_{\sigma_b}^{B s_b}(\zeta_\beta); \quad \langle X_{\sigma_b}^{B s_b} | X_{\sigma_b}^{B s_b} \rangle = 1; \quad |33/$$

$s_\alpha, \sigma_\alpha, s_b, \sigma_b$: csatornaspinek.

A szóráselmélet bevezette tranzitoperátor előállítására:

$$\begin{aligned} & \langle e^{i k_b \zeta_\beta} X_{\sigma_b}^{B s_b}(\zeta_\beta) | T_{\beta \alpha}^+(E) | e^{i k_a \zeta_\alpha} X_{\sigma_a}^{A s_a}(\zeta_\alpha) \rangle = \\ & = \langle e^{i k_b \zeta_\beta} X_{\sigma_b}^{B s_b}(\zeta_\beta) | V_\beta(\zeta) \psi_{k_a A s_a \sigma_a}^*(\zeta) \rangle, \quad |34/ \end{aligned}$$

ahol ψ_a^+ normálása

$$\psi_{ka}^{Asa\sigma_a} \quad r_b > \rho_B \quad e^{ik_a r_a} \chi_{\sigma_a}^{Asa} + \sum_{\beta} \sum_{b(\beta)} \text{konst.} \frac{1}{r_\beta} \omega_{\ell_b}^+ \chi_{\sigma_b}^{Bsb} \psi_{\lambda_b}^{\ell_b} \quad /35/$$

Az integrálás természetesen az egész konfigurációs térre kiterjed. A továbbiakban feltételezzük, hogy az elemi kétnukleon-kölcsönhatás véges hatótávolságu:

$$V(i, k) \equiv V(\underline{r}_i, \underline{r}_k, \underline{\sigma}^i, \underline{\sigma}^k) \equiv 0 \quad /36/$$

valahányszor

$$|\underline{r}_i - \underline{r}_k| > R.$$

Ilyen feltétel mellett bevezethető a konfigurációs térnek belső és külső tartományra való felosztása alkalmas $\rho_r(R, N, Z)$ csatornasugarak segítségével az

$$r_{r_i}[\rho_r(R, N, Z)] \quad \text{ill.} \quad r_{r_j}[\rho_r(R, N, Z)] \quad /37/$$

feltételnek minden r szeparációra való előírásával. A külső tartomány tovább bontható a két kompakt részrendszerre való szeparálódás

$$|\underline{r}_i - \underline{r}_{\beta_1}| \ll R \quad \text{minden} \quad i \in \beta_1, \quad /38/$$

$$|\underline{r}_j - \underline{r}_{\beta_2}| \ll R \quad \text{minden} \quad j \in \beta_2 \quad /39/$$

szimultán feltételével definiált csatornatartományokra és a csatorna közti térre /itt r_{β_1} és r_{β_2} a részrendszerek tömegközéppontjainak helyzetvektorai/. A csatornatartományban jó közelítéssel teljesül a

$V_r(r_i, r_j) \approx 0$ feltétel, és így /34/-hez a csatornák alig adnak járulékot. A csatornaközi térben azonban egyik szeparáció kölcsönhatási operátora sem tűnik el. Ez azt jelenti, hogy az elemi kölcsönhatás véges hatótávolsága ellenére a tranzitmátrixelem /34/ kifejezésében az integrálás a teljes konfigurációs térre vonatkozik: nem korlátozható a belső tartományra.

További közelítést teszünk a két elmélet összehasonlítása érdekében. Feltesszük, hogy a szórt hullám a csatornában tisztán kifutó jellegű, bár ez a szokásos feltevés a formális szóráselmélet segítségével bebizonyíthatóan csak közelítőleg igaz. E feltevés mellett a szórásállapot /35/ normálási feltétele az $r_\beta > \rho_\beta$ -ra előírt

$$\psi_{k\alpha}^+ A_{s\alpha} \sigma_\alpha (r_\beta, \hat{r}_\beta, \hat{f}_\beta) = e^{ik_\alpha r_\alpha} \chi_{\sigma_\alpha}^{A_{s\alpha}} + \sum_\beta \sum_{b(\beta)} \text{konst.} \frac{1}{r_\beta} \omega_{\ell_b}^+ \gamma_{\lambda_b}^{\ell_b} \chi_{\sigma_b}^{B_{s_b}} \quad /40/$$

aszimptotikával egyenértékű. Ezt a relációt később explicite felhasználjuk.

Ha a tranzitmátrixelemet a

$$T_{\ell_a s_a A \lambda_a \sigma_a}^{\ell_b s_b B \lambda_b \sigma_b} (E) \equiv \left\langle \frac{1}{r_\beta} \omega_{\ell_b} \gamma_{\lambda_b}^{\ell_b} \chi_{\sigma_b}^{B_{s_b}} \middle| T_{\beta\alpha}(E) \middle| \frac{1}{r_\alpha} \gamma_{\lambda_a}^{\ell_a} \chi_{\sigma_a}^{A_{s_a}} \right\rangle \quad /41/$$

módon definiáljuk, akkor a rugalmas szórás esetében vázolt eljárással /34/ és /40/ alapján kimutatható, hogy a mátrixelem pontos alakja, a normálások és a fázisok konkrétizálásával

$$T_{\ell_a \lambda_a s_a \sigma_a}^{\ell_b \lambda_b s_b \sigma_b} (E) = \left\langle \frac{1}{r_\beta} \omega_{\ell_b}^0 \gamma_{\lambda_b}^{\ell_b} \chi_{\sigma_b}^{B_{s_b}} / V_\beta \psi_{\ell_a \lambda_a s_a \sigma_a}^+ \right\rangle \quad /42/$$

ahol

$$\psi_{\ell_a \lambda_a s_a \sigma_a}^+ = \frac{1}{r_\alpha} \omega_{\ell_a}^0 \gamma_{\lambda_a}^{\ell_a} \chi_{\sigma_a}^{A_{s_a}} + \sum_\beta \sum_{b(\beta)} \text{konst.} \frac{1}{r_\beta} \omega_{\ell_b}^+ \gamma_{\lambda_b}^{\ell_b} \chi_{\sigma_b}^{B_{s_b}} \quad /43/$$

A mátrixelem /42/ alakjából kiindulva, /30/ és /33/ felhasználásával, kapjuk

$$T_{\ell_a \lambda_a s_a \sigma_a}^{\ell_b \lambda_b s_b \sigma_b} (E) = \int \frac{1}{r_\beta} \omega_{\ell_b}^0 \gamma_{\lambda_b}^{\ell_b} \chi_{\sigma_b}^{B_{s_b}} [E - H_\beta + \frac{\hbar^2}{2\mu_\beta} \Delta_\beta] \psi_{\ell_a \lambda_a s_a \sigma_a}^+ d\tilde{l}. \quad /44/$$

A H_β hermitikus lévén, az $E - H_\beta$ operátor az egész konfigurációs térre vonatkozó integrálban az első tényezőre hárítható át és így /30/-at figyelembe véve

$$T_a^b(E) = -\frac{\hbar^2}{2\mu_\beta} \int \left[\psi_a^+ \cdot \Delta_\beta \left(\frac{1}{r_\beta} \omega_{\ell_b}^0 \gamma_{\lambda_b}^{\ell_b} \right) - \frac{1}{r_\beta} \omega_{\ell_b}^0 \gamma_{\lambda_b}^{\ell_b} \Delta_\beta (\psi_a^+) \right] \chi_{\sigma_b}^{B_{s_b}} d\tilde{l} \quad /45/$$

A $\phi_\lambda^\ell \equiv \frac{1}{r} \omega_{\ell}^0 \gamma_{\lambda}^{\ell} \chi(\xi)$ jelölés bevezetésével a tranzitmátrixelemnek

$$T_a^b(E) = \frac{\hbar^2}{2\mu_\beta} \int \left[\psi_a^+ \cdot \Delta_\beta \phi_{\lambda_b}^{\ell_b} - \phi_{\lambda_b}^{\ell_b} \Delta_\beta \psi_a^+ \right] d\tilde{l} \quad /46/$$

szimmetrikus kifejezést kapjuk. Most válasszuk szét a konfigurációs teret az $r_\beta < \rho_\beta$ "belső" és az $r_\beta > \rho_\beta$ "külső" tartományra; a belső térre vonatkozóan alkalmazzuk Green tételét:

$$T_\alpha^b(E) = -\frac{\hbar^2}{2\mu_\beta} \left\{ \iiint \left[\psi_\alpha^+ \frac{\partial \phi_{\lambda b}^{\ell b}}{\partial r_\beta} - \phi_{\lambda b}^{\ell b} \frac{\partial \psi_\alpha^+}{\partial r_\beta} \right] r_\beta^2 dr_\beta d\Omega_\beta - \int_{\text{külső}} \left[\psi_\alpha^+ \Delta_\beta \phi_{\lambda b}^{\ell b} - \phi_{\lambda b}^{\ell b} \Delta_\beta \psi_\alpha^+ \right] d\tau \right\} \quad /47/$$

A differenciálás és integrálás sorrendjének felcserélése majd némi átcsoportosítás után Wronski-determináns alakjában kapjuk meg a tranzitmátrixelemet:

$$T_\alpha^b(E) = -\frac{\hbar^2}{2\mu_\beta} W_{r_\beta = \rho_\beta} \left\{ r_\beta \left\langle \psi_\alpha^+ \left| y_{\lambda b}^{\ell b} x_{\sigma_b}^{\beta \lambda b} \right. \right\rangle r_\beta^2 f_\beta; w_{\ell b}^+ \right\} - \frac{\hbar^2}{2\mu_\beta} \int_{\text{külső}} \left[\psi_\alpha^+ \Delta_\beta \phi_{\lambda b}^{\ell b} - \phi_{\lambda b}^{\ell b} \Delta_\beta \psi_\alpha^+ \right] d\tau. \quad /48/$$

A /28/ csatornaelméleti formula és a /48/ szóráselméleti előállítás összehasonlítása céljából kiszámíthatjuk a /28/-ban a nevezőben álló Wronski-determinánst a /43/ normálásnak a $\beta = \alpha, b = \alpha$ esetre való alkalmazásával:

$$W_{\rho_\alpha} \left\{ \left\langle y_{\lambda \alpha}^{\ell \alpha} x_{\sigma_\alpha}^{A \beta \alpha} \left| r_\alpha \psi_\alpha^+ \right. \right\rangle r_\alpha^2 f_\alpha; w_{\ell \alpha}^+ \right\} = \quad /49/$$

$$= W_{\rho_\alpha} \left\{ w_{\ell \alpha}^0; w_{\ell \alpha}^+ \right\} = -k_\alpha, \quad /50/$$

ahol figyelembe vettük az itt is érvényben lévő /12/, /13/ normálásokat.

Végeredményünket a /48/ és /50/ alapján a

$$T_\alpha^b(E) = \frac{\hbar^2}{2\mu_\beta} \frac{W_{\rho_\beta} \left\{ \left\langle y_{\lambda b}^{\ell b} x_{\sigma_b}^{\beta \lambda b} \left| r_\beta \psi_\alpha^+ \right. \right\rangle r_\beta^2 f_\beta; w_{\ell b}^0 \right\}}{W_{\rho_\alpha} \left\{ \left\langle y_{\lambda \alpha}^{\ell \alpha} x_{\sigma_\alpha}^{A \beta \alpha} \left| r_\alpha \psi_\alpha^+ \right. \right\rangle r_\alpha^2 f_\alpha; w_{\ell \alpha}^+ \right\}} - \int_{\rho_\beta}^{\infty} \left[\psi_\alpha^+ \Delta_\beta \phi_{\lambda b}^{\ell b} - \phi_{\lambda b}^{\ell b} \Delta_\beta \psi_\alpha^+ \right] r_\beta^2 dr_\beta d\Omega_\beta d\Omega_\beta \quad /51/$$

alakban kapjuk meg.

A szóráselméleti tranzitmátrixelem és a csatornaelméleti ütközési mátrixelem kapcsolata /29/ és /51/ alapján

$$T_{\lambda_a \lambda_a \sigma_a \sigma_a}^{\ell_b \lambda_b \sigma_b \sigma_b B} (E) = k_b \left[\delta_{ba} - U_{\lambda_a \lambda_a \sigma_a \sigma_a}^{\ell_b \lambda_b \sigma_b \sigma_b B} (E) \right] - \int_{\mathcal{P}_B} \int \int \left[\psi_a^+ \Delta_B \phi_{\lambda_b}^{\ell_b} - \phi_{\lambda_b}^{\ell_b} \Delta_B \psi_a^+ \right] r_B^2 dr_B d\Omega_B d\xi_B. \quad 152/$$

Az /52/ formulában szereplő integrál, a két elmélet korrespondáló mátrixelemének különbsége részletesen kiírva:

$$\Delta T_a^b (E) = \int_{\mathcal{P}_B} \int \int \frac{1}{r_B} \psi_{\lambda_b}^{\ell_b} \chi_{\sigma_b}^{B \sigma_b} \left[\omega_{\ell_b}^o \left(\Delta_B + \frac{\ell(\ell+1)}{r_B^2} \right) - \omega_{\ell_b}^{o(II)} \right] \psi_a^+ r_B^2 dr_B d\Omega_B d\xi_B. \quad 153/$$

A két elmélet adta szórás-mátrixelem eltérése pontosan megegyezik a külső tér járulékaival a szóráselméleti mátrixelem /42/ reprezentációjában értelmében:

$$\Delta T_a^b (E) = \int_{\text{külső}} \frac{1}{r_B} \omega_{\ell_b}^o \psi_{\lambda_b}^{\ell_b} \chi_{\sigma_b}^{B \sigma_b} V_B \psi_a^+ d\tau. \quad 154/$$

Diszkusszió

Jelen tárgyalásunkat arra korlátoztuk, hogy analitikus átalakítással összehasonlítható alakra transzformáljuk a szóráselmélet és a csatornaelmélet eredetileg teljesen más fogalomkörökben definiált szórás mátrixelemeit. Vizsgálatunk szerint, véges hatótávolságu két-nukleonkölcsönhatás mellett kétnukleon-rendszerben, azaz rugalmas szórás esetében, a két elmélet bevezette fogalmak pontosan megegyeznek. Többtestprobléma esetén még véges hatótávolságu elemi kölcsönhatás esetén sincs egyezés a tranzitmátrix és az ütközési mátrix között. Az eltérés csak akkor lenne zérus, ha a $V_B(\underline{r})$ kölcsönhatás a β -szeparáció szerinti külső tartományban azonosan eltűnnék. Ez azonban a véges hatótávolságu kétnukleon-kölcsönhatás mellett sem történik meg: a két részecske-rendszer tömegközéppontjai a külső tartománynak megfelelő konfigurációkban a kétnukleon-

kölcsönhatás hatótávolságán kívül esnek ugyan, de a két részecskerendszer egy-egy nukleonja ettől még véges valószínűséggel hatótávolságon belül lehet egymástól. Ez az ún. polarizációs effektus. A polarizációs erők járuléka, vizsgálatunk szerint pontosan megegyezik a tranzitmátrixelem szokásos szóráselméleti előállításának a külső tartományra vonatkozó részével.

A polarizációs erők miatt a csatornaelméletek alapfeltevése, a konfigurációs térnek belső és kölcsönhatásmentes külső tartományra való felosztása nem vihető végig a szokásos módon. Fizikai térre átfoglalmazva a dolgot: a mag határa nem éles és ez az oka annak is, hogy optikai modellekben diffuz potenciállal kell reprezentálni az effektív kölcsönhatást a két részrendszer közt. A diffuzitás is, a $\Delta T_a^b(E)$ különbség is, a polarizációs erők megnyilvánulása és ezért e két fogalom egymással is kapcsolatos. A polarizációs járulék jelentősége attól függ, mekkora az ψ_a^+ szórásállapot-amplitudó a csatornaközi térben. A tartózkodási valószínűségi sűrűség energiatfüggő és a többfelé szeparálódás küszöbein a csatornaközi térben hirtelen megnő.

Érkezett: 1966. máj. 25.

KFKI Közl. 14.évf. 5. szám, 1966.

BESSEL-FÜGGVÉNYEK CSEBISEV-SORFEJTÉSE II.

$$I_\nu(x) \quad \text{ÉS} \quad K_\nu(x)$$

Irta: Németh Géza

Összefoglalás

A dolgozatban az $I_\nu(x)$ és $K_\nu(x)$ Bessel-függvények alkalmas Csebisev-sorfejtéseinek a meghatározásával foglalkozunk. Ezek a sorfejtések praktikus számításoknál célszerűek gyors konvergenciájuk miatt. A $0 < x \leq a$ esetben a Csebisev-sorok konvergenciája kb. 4^{-n} -nel gyorsabb, mint a megfelelő Taylor-soré. Az $x \geq a$ esetre vonatkozó Csebisev-sorok konvergensek /ellentétben a szokásos divergens aszimptotikus kifejezésekkel/. A sorfejtések együtthatóinak a meghatározásához rekurziós képleteket vezetünk le. A függelékben $J_k(x)$ -re és $I_k(x)$ -re a Csebisev-sorfejtési együtthatókat zárt /Bessel függvényt tartalmazó/ formában adjuk meg.

Bevezetés

Előző [7] munkánkban a valós argumentumu Bessel-függvények Csebisev-sorfejtésével foglalkoztunk. Jelenleg hasonló számításokat végzünk a képzetes argumentumu Bessel-függvényekre vonatkozóan. Röviden idézzük [1] -ből e függvények számunkra szükséges definíciót:

$$I_\nu(x) = \sum_{n=0}^{\infty} \frac{(x/2)^{2n+\nu}}{n! \Gamma(n+\nu+1)},$$

$$K_\nu(x) = \frac{\pi}{2} \frac{I_{-\nu}(x) - I_\nu(x)}{\sin \nu \pi}, \quad \nu \neq 0, \pm 1, \pm 2, \dots //$$

A következőkben először az $I_\nu(x)$ függvény $0 \leq x < a$ intervallumra vonatkozó Csebisev-sorfejtését vizsgáljuk meg. Látni fogjuk, hogy ez a sor kb. 4^{-n} -nel gyorsabban konvergál az /1/ sorhoz képest. A sorfejtés együtthatóira rekurziós képletet vezetünk le.

A további részben az $I_\nu(x)$ függvény $a \leq x < \infty$ intervallumra vonatkozó Csebisev-sorfejtésével foglalkozunk. Be fogjuk bizonyítani, hogy ez a sorfejtés, ellentétben az ismert divergens aszimptotikus sorral, konvergens. Továbbá meghatározzuk az együtthatók rekurziós képletét. A dolgozat hatodik részében összefoglaljuk a $K_\nu(x)$ függvény $a \leq x < \infty$ intervallumra vonatkozó Csebisev-sorfejtésével kapcsolatos eredményeket. Végezetül a Függelékben a $J_k(x)$ és $I_k(x)$ / k egész/ függvények Csebisev-sorfejtésének együtthatóit zárt /Bessel függvényeket tartalmazó/ alakban adjuk meg.

4/ Az $I_\nu(x)$ függvény Csebisev-sorfejtése $0 < x \leq a$ esetére

Célszerűen $I_\nu(x)$ helyett $x^{-\nu} I_\nu(x)$ fogjuk sorbafejteni. Legyen

$$I_\nu(x) = \frac{(x/2)^\nu}{\Gamma(\nu+1)} \left\{ d_0^{(\nu)}(a) + 2 \sum_{n=1}^{\infty} d_n^{(\nu)}(a) T_{2n}(x/a) \right\}. \quad /4.1/$$

A $d_n^{(\nu)}(a)$ együtthatókat integrállal fejezhetjük ki a következő integrálelemlőállítás segítségével:

$$I_\nu(x) = 2 \frac{(x/2)^\nu}{\Gamma(\nu+\frac{1}{2})\Gamma(\frac{1}{2})} \int_0^1 (1-t^2)^{\nu-\frac{1}{2}} \operatorname{ch} xt \, dt, \quad \nu > -\frac{1}{2}. \quad /4.2/$$

Ha ugyanis $\operatorname{ch} xt$ helyére beírjuk Csebisev-sorát, és megcseréljük az integrálás és az összegezés sorrendjét, $d_n^{(\nu)}(a)$ az alábbi lesz:

$$d_n^{(\nu)}(a) = 2 \frac{\Gamma(\nu+1)}{\Gamma(\nu+\frac{1}{2})\Gamma(\frac{1}{2})} \int_0^1 (1-t^2)^{\nu-\frac{1}{2}} I_{2n}(at) \, dt. \quad /4.3/$$

Felhasználva /1/-t könnyen megkapjuk $d_n^{(\nu)}$ aszimptotikus formuláját:

$$d_n^{(\nu)}(a) = \frac{\Gamma(\nu+1)}{n! \Gamma(n+\nu+1)} \left(\frac{a}{4}\right)^{2n} \left\{ 1 + O\left(\frac{1}{n}\right) \right\}, \quad n \rightarrow \infty \quad /4.4/$$

A $d_n^{(\nu)}(a)$ számok rekurziós képletét hasonló módszerrel lehet nyerni, mint amit $J_\nu(x)$ esetében alkalmaztunk [7]. $\Lambda 8(n+1)d_{n+1}^{(\nu)}(a)$ kifejezést parciálisan integráljuk:

$$\begin{aligned}
 8(n+1)d_{n+1}^{(\nu)} &= \frac{\Gamma(\nu+1)}{\Gamma(\nu+\frac{1}{2})\Gamma(\frac{1}{2})} 2a \int_0^1 (1-t^2)^{\nu-\frac{1}{2}} t [I_{2n+1}(at) - I_{2n+3}(at)] dt = \\
 &= 2 \frac{\Gamma(\nu+1)}{\Gamma(\nu+\frac{1}{2})\Gamma(\frac{1}{2})} \frac{2a^2}{2\nu+1} \int_0^1 (1-t^2)^{\nu+\frac{1}{2}} [I'_{2n+1}(at) - I'_{2n+3}(at)] dt = \\
 &= \frac{2a^2}{2\nu+1} \left\{ \frac{1}{2} (d_n^{(\nu)} - d_{n+2}^{(\nu)}) - 2 \frac{\Gamma(\nu+1)}{\Gamma(\nu+\frac{1}{2})\Gamma(\frac{1}{2})} \int_0^1 (1-t^2)^{\nu-\frac{1}{2}} t^2 [I'_{2n+1}(at) - I'_{2n+3}(at)] dt \right\}.
 \end{aligned}$$

Néhány összevonás és $n+1$ -el való osztás után kapjuk

$$16\nu d_{n+1}^{(\nu)} = \frac{a^2}{n+1} (d_n^{(\nu)} - d_{n+2}^{(\nu)}) - 2 \frac{\Gamma(\nu+1)}{\Gamma(\nu+\frac{1}{2})\Gamma(\frac{1}{2})} 4a \int_0^1 (1-t^2)^{\nu-\frac{1}{2}} [I_{2n+1}(at) + I_{2n+3}(at)] dt.$$

Most vonjuk ki egymásból a $d_{n+1}^{(\nu)}$ és $d_{n+2}^{(\nu)}$ képleteit:

$$16\nu [d_{n+1}^{(\nu)} - d_{n+2}^{(\nu)}] = \frac{a^2}{n+1} (d_n^{(\nu)} - d_{n+2}^{(\nu)}) - \frac{a^2}{n+2} (d_{n+1}^{(\nu)} - d_{n+3}^{(\nu)}) - 16(n+1)d_{n+1}^{(\nu)} - 16(n+2)d_{n+2}^{(\nu)},$$

innen rendezés után kapjuk $d_n^{(\nu)}$ rekurziós képletét:

$$\frac{d_n^{(\nu)} - d_{n+2}^{(\nu)}}{n+1} - \frac{d_{n+2}^{(\nu)} - d_{n+3}^{(\nu)}}{n+2} = \frac{16}{a^2} [(n+1+\nu)d_{n+1}^{(\nu)} + (n+2-\nu)d_{n+2}^{(\nu)}]. \quad /4.5/$$

A /4.5/ képlet levezetésénél fel volt tételezve, hogy $\nu > -1/2$. Nyilvánvaló azonban, hogy a képlet érvényessége analitikus folytatással kiterjeszhető minden olyan esetre, amikor $\nu \neq -1, -2, \dots$ /Megjegyezzük, hogy ez utóbbi esetben az

$$I_{-n}(x) = I_n(x)$$

formula érvényes, v.ö.: [1] ./

5/ Az $I_\nu(x)$ függvény Csebisev-sorfejtése $a < x < \infty$ esetén

Az $I_\nu(x)$ függvényt nagy x érték esetén az aszimptotikus kifejezésével szokás számolni:

$$I_\nu(x) \sim \frac{e^x}{\sqrt{2\pi x}} \left\{ \sum_{k=0}^{\infty} (-1)^k \frac{\Gamma(\nu+k+1/2)}{k! \Gamma(\nu-k+1/2)} \frac{1}{(2x)^k} \right\}, \quad x \rightarrow \infty.$$

Ez a sor nyilvánvalóan divergens. Mi most egy hasonló alaku Csebisev-sorfejtést vizsgálunk. Legyen $G \equiv a/x$ és

$$I_\nu(x) = \frac{e^x}{\sqrt{2\pi x}} \left\{ A_0^{(\nu)}(a) + 2 \sum_{n=1}^{\infty} (-1)^n A_n^{(\nu)}(a) T_n^*(G) \right\} \quad /5.1/$$

Vizsgáljuk meg $I_\nu(x)$ következő előállítását [1]:

$$I_\nu(x) = \frac{e^x}{\sqrt{2\pi x}} \cdot b \int_0^{\infty} J_{2\nu}(bz) e^{-bz^2} dz, \quad b = 2\sqrt{2a}, \quad \nu > -\frac{1}{2}$$

Behelyettesítve ide az exponenciális függvény Csebisev-sorát, kapjuk:

$$A_n^{(\nu)}(a) = b \int_0^{\infty} J_{2\nu}(bz) e^{-\frac{bz^2}{2}} T_n\left(\frac{bz^2}{2}\right) dz. \quad /5.2/$$

Az $A_n^{(\nu)}(a)$ együtthatókat, mint az /egyelőre nem rögzített/ "a" paraméter függvényét határozzuk meg. Használni fogjuk az alábbi Laplace-transzformáltat:

$$h_n(s) = \int_0^{\infty} a^{\nu-\frac{1}{2}} e^{-as} A_n^{(\nu)}(a) da.$$

Beírva $A_n^{(\nu)}(a)$ /5.2/ kifejezését ebbe az integrálba a

$$b \int_0^{\infty} J_{2\nu}(bz) a^{\nu-\frac{1}{2}} e^{-as} da = 2^{\nu+\frac{1}{2}} \frac{z^{2\nu}}{s^{2\nu+1}} e^{-\frac{bz^2}{s}}$$

képlet segítségével $h_n(s)$ egyszerűbb alakra hozható:

$$h_n(s) = \frac{2^{\nu+1/2}}{s^{2\nu+1}} \int_0^\infty z^{2\nu} e^{-(\frac{1}{2}+1)\frac{z^2}{2}} I_n\left(\frac{z^2}{2}\right) dz$$

Az $z^2 = su$ helyettesítés után ez az alábbi lesz:

$$h_n(s) = \frac{2^{\nu+1/2}}{s^{\nu+1/2}} \int_0^\infty u^{\nu-1/2} e^{-2u} e^{-s\frac{u}{2}} I_n\left(s\frac{u}{2}\right) du$$

Felhasználva az

$$e^{-1/2 us} I_n\left(\frac{1}{2} us\right) = \frac{(us)^n}{4^n n!} {}_2F_1\left(n+\frac{1}{2}; 2n+1; -us\right)$$

azonosságot, tagonként integrálhatunk. Összevonás után $h_n(s)$ hipergeometriai függvénnyel lesz kifejezve:

$$h_n(s) = \frac{\Gamma(n+\nu+1/2)}{8^n n!} s^{n-\nu-1/2} {}_2F_1\left(n+\frac{1}{2}, n+\nu+\frac{1}{2}; 2n+1; -\frac{1}{2}s\right). \quad /5.3/$$

A $h_n(s)$ függvényt felhasználjuk $A_n^{(\nu)}$ explicit előállítására. Az /5.3/ képletre alkalmazzuk a reciprok átalakítást.

$$h_n(s) = \frac{\Gamma(n+\nu+1/2)}{8^n n!} s^{n-\nu-1/2} \left\{ \frac{\Gamma(2n+1)\Gamma(\nu)}{\Gamma(n+\nu+1/2)\Gamma(n+1/2)} \left(\frac{2}{s}\right)^{n+1/2} {}_2F_1\left(n+\frac{1}{2}, -n+\frac{1}{2}; 1-\nu; -\frac{2}{s}\right) + \right. \\ \left. + \frac{\Gamma(2n+1)\Gamma(-\nu)}{\Gamma(n+1/2)\Gamma(n-\nu+1/2)} \left(\frac{2}{s}\right)^{n+\nu+1/2} {}_2F_1\left(n+\nu+\frac{1}{2}, -n+\nu+\frac{1}{2}; 1+\nu; -\frac{2}{s}\right) \right\}$$

Néhány elemi átalakítás után $h_n(s)$ egyszerűsödik:

$$h_n(s) = \frac{\Gamma(\nu)}{\Gamma(\frac{1}{2})} \frac{2^{\frac{1}{2}}}{s^{\nu+1}} {}_2F_1\left(\frac{1}{2}+n, \frac{1}{2}-n; 1-\nu; -\frac{2}{s}\right) + \\ + \frac{\Gamma(-\nu)}{\Gamma(\frac{1}{2})} \frac{\Gamma(n+\nu+1/2)}{\Gamma(n-\nu-1/2)} \frac{2^{\nu+1/2}}{s^{2\nu+1}} {}_2F_1\left(\frac{1}{2}+\nu+n, \frac{1}{2}+\nu-n; 1+\nu; -\frac{2}{s}\right)$$

Ezekben a sorokban tagonként elvégezhetjük a visszatranszformálást. Majd $a^{1-\frac{1}{2}}$ -el osztva, $A_n^{(\nu)}(a)$ explicit kifejezését kapjuk:

$$A_n^{(\nu)}(a) = \frac{(2a)^{\frac{1}{2}}}{\nu! \Gamma(\frac{1}{2})} {}_2F_2\left(\frac{1}{2}+n, \frac{1}{2}-n, 1-\nu, 1+\nu; -2a\right) + \frac{(2a)^{\nu+\frac{1}{2}} \Gamma(-\nu) \Gamma(n+\nu+\frac{1}{2})}{\Gamma(\frac{1}{2}) \Gamma(1+2\nu) \Gamma(n-\nu+\frac{1}{2})} {}_2F_2\left(\frac{1}{2}+\nu+n, \frac{1}{2}+\nu-n, 1+\nu, 1+2\nu, -2a\right). \quad /5.4/$$

A $h_n(s)$ /5.3/ képlete segítségével $A_n^{(\nu)}(a)$ Mellin-integrállal is megadható:

$$A_n^{(\nu)}(a) = \frac{a^{-\nu+\frac{1}{2}}}{2\pi i} \int_{\gamma-i\infty}^{\gamma+i\infty} h_n(s) e^{as} ds. \quad /5.5/$$

Ezt az integrált fogjuk felhasználni a Csebisev-sorfejtés konvergenciájának bizonyítására. A $h_n(s)$ függvény ismert hipergeometriai átalakítások segítségével aszimptotikusan egyszerűbb alakba írható:

$$h_n(s) = \frac{\Gamma(n+\nu+\frac{1}{2})}{2^n n!} s^{n-\nu-\frac{1}{2}} \frac{(1+\frac{1}{2}s)^{-\left(\frac{\nu}{2}+\frac{1}{4}\right)}}{(1+\sqrt{1+\frac{1}{2}s})^{2n}} {}_2F_1\left(\frac{1}{2}+\nu, \frac{1}{2}-\nu; n+1; -\frac{\frac{s^2}{16}}{\sqrt{1+\frac{1}{2}s}(1+\sqrt{1+\frac{1}{2}s})^2}\right)$$

Innen $n \rightarrow \infty$ és $|s| \rightarrow \infty$ esetére

$$h_n(s) = 2^{-n+\frac{\nu}{2}+\frac{1}{4}} n^{\nu-\frac{1}{2}} \frac{s^{n-\frac{1}{2}\nu-\frac{3}{4}}}{(1+\sqrt{1+\frac{1}{2}s})^{2n}} \left\{ 1 + O\left(\frac{1}{n}\right) + O\left(\frac{|s|^{-\frac{1}{2}}}{n}\right) \right\}$$

adódik. Ezt az aszimptotikát felhasználhatjuk a Mellin-integrálban $A_n^{(\nu)}(a)$ $n \rightarrow \infty$ aszimptotikus alakjának meghatározására. A Laplace-módszer alapján elvégezve a számításokat, a következő eredményt nyertük:

$$A_n^{(\nu)}(a) = e^{-\lambda n^{2/3}} O(n^{-2/3}), \quad n \rightarrow \infty$$

$$\lambda = 3 \cdot 2^{-2/3} a^{1/3} (1 - i\sqrt{3}). \quad /5.6/$$

Ez a becslés biztosítja a /5.1/ sor abszolút és σ -ban egyenletes konvergenciáját.

A következőkben $A_n^{(\nu)}(a)$ rekurziós képletét állítjuk elő az /5.2/ képlet segítségével. Az $\frac{3}{2} = t$ helyettesítés után $A_n^{(\nu)}(a)$ az alábbi lesz:

$$A_n^{(\nu)}(a) = 2a \int_0^{\infty} J_{2\nu}(4\sqrt{at}) t^{-\frac{1}{2}} e^{-t} I_n(t) dt.$$

Bevezetjük most a

$$v(t) = 2\sqrt{at} J_{2\nu}(4\sqrt{at})$$

jelölést. A $J_\nu(x)$ Bessel-függvény differenciálegyenlete segítségével elemi átalakításokkal belátható, hogy $v(t)$ a

$$4av = -tv'' - \frac{1/4 - \nu^2}{t}v$$

differenciálegyenlet partikuláris megoldása. Ezt a tényt felhasználva $-8aA_{n+1}^{(\nu)}$ kifejezését parciálisan integráljuk:

$$\begin{aligned} -8aA_{n+1}^{(\nu)} &= -8a \int_0^{\infty} v(t) \frac{1}{t} e^{-t} I_{n+1}(t) dt = 2 \int_0^{\infty} \left[v''(t) + \frac{1/4 - \nu^2}{t^2} v(t) \right] e^{-t} I_{n+1}(t) dt = \\ &= \left(\frac{1}{4} - \nu^2 \right) \left[\frac{1}{n+1} (A_n^{(\nu)} - A_{n+2}^{(\nu)}) \right] + 2 \int_0^{\infty} v''(t) e^{-t} I_{n+1}(t) dt. \end{aligned}$$

Az utóbbi integrált kétszeres parciális integrálással átalakíthatjuk:

$$\begin{aligned} \int_0^{\infty} v''(t) e^{-t} I_{n+1}(t) dt &= \int_0^{\infty} v(t) \left[e^{-t} I_{n+1}(t) \right]'' dt = \\ &= nA_n^{(\nu)} - (n+2)A_{n+2}^{(\nu)} - 2 \int_0^{\infty} v(t) e^{-t} \left[I_n(t) - 2I_{n+1}(t) + I_{n+2}(t) \right] dt. \end{aligned}$$

Adjuk most össze $-8aA_{n+1}^{(\nu)}$ és $-8aA_{n+2}^{(\nu)}$ fenti kifejezéseit. Felhasználva az előző átalakítást kapjuk:

$$\begin{aligned} -8a(A_{n+1}^{(\nu)} + A_{n+2}^{(\nu)}) &= \left(\frac{1}{4} - \nu^2 \right) \left[\frac{1}{n+1} (A_n^{(\nu)} - A_{n+2}^{(\nu)}) + \frac{1}{n+2} (A_{n+1}^{(\nu)} - A_{n+3}^{(\nu)}) \right] + \\ &+ nA_n^{(\nu)} - 3(n+1)A_{n+1}^{(\nu)} + 3(n+2)A_{n+2}^{(\nu)} - (n+3)A_{n+3}^{(\nu)}. \end{aligned}$$

Innen néhány összevonás után nyerjük $A_n^{(\nu)}$ rekurziós képletének végleges alakját:

$$P_0 A_n^{(\nu)} - P_1 A_{n+1}^{(\nu)} + P_2 A_{n+2}^{(\nu)} - P_3 A_{n+3}^{(\nu)} = -\delta a (A_{n+1}^{(\nu)} + A_{n+2}^{(\nu)}) \quad n=0, 1, 2, \dots$$

$$P_0 = \frac{(n+\frac{1}{2})^2 - \nu^2}{n+1} \quad , \quad P_1 = 4n+6-P_3 \quad , \quad (5.7)$$

$$P_2 = 4n+6-P_0 \quad , \quad P_3 = \frac{(n+\frac{5}{2})^2 - \nu^2}{n+2} \quad .$$

Az /5.2/ integrál-előállításnál feltettük, hogy $\nu > -\frac{1}{2}$. Jól látható azonban, hogy mind az /5.6/ aszimptotika, mind az /5.7/ rekurziós képlet érvényessége analitikus folytatással további ν értékekre kiterjeszhető. A /most nem részletezett/ folytatás eredményeként azt kapjuk, hogy ezek az eredmények érvényesek maradnak minden olyan ν -re, amikor $\nu \neq \pm \frac{1}{2}, \pm \frac{3}{2}, \pm \frac{5}{2}, \pm \frac{7}{2} \dots$. Ismeretes, hogy ez utóbbi eseteknél az /5.1/ sor polinomná redukálódik.

6/ $K_\nu(x)$ Csebisev-sorfejtése $a \leq x < \infty$ esetére

Nagypontosságú számításoknál a $K_\nu(x)$ függvényt $x \geq a$ esetére célszerű a

$$K_\nu(x) \sim \sqrt{\frac{\pi}{2x}} e^{-x} \left\{ \sum_{n=0}^{\infty} \frac{\Gamma(\nu+k+\frac{1}{2})}{k! \Gamma(\nu-k+\frac{1}{2})} \frac{1}{(2x)^k} \right\} \quad , \quad x \rightarrow \infty ,$$

divergens aszimptotikus sor helyett az alábbi

$$K_\nu(x) = \sqrt{\frac{\pi}{2x}} e^{-x} \left\{ C_n^{(\nu)}(a) + 2 \sum_{n+1}^{\infty} (-1)^n C_n^{(\nu)}(a) T_n^*(\sigma) \right\} \quad , \quad \sigma = \frac{a}{x} \quad , \quad (6.1)$$

konvergens Csebisev-sorfejtés részletösszegével számolni. Y.L.Luke és Wimp [8] eredményei alapján $C_n^{(\nu)}(a)$ hipergeometriai függvényekkel fejezhető ki:

$$C_n^{(\nu)}(a) = \sqrt{\frac{2a}{\pi}} \frac{1}{\Gamma(\frac{1}{2}+\nu)\Gamma(\frac{1}{2}-\nu)} \left\{ \Gamma(\nu)\Gamma(-\nu) {}_2F_2 \left(\frac{1}{2}+n, \frac{1}{2}-n; 1-\nu, 1+\nu; 2a \right) + \right.$$

$$+ \Gamma(-\nu) \Gamma(-2\nu) \frac{\Gamma(n+\nu+1/2)}{\Gamma(n-\nu+1/2)} (2a)^{\nu} {}_2F_2 \left(\frac{1}{2} + \nu + n, \frac{1}{2} + \nu - n; 1 + \nu, 1 + 2\nu; 2a \right) +$$

$$+ \Gamma(\nu) \Gamma(2\nu) \frac{\Gamma(n-\nu+1/2)}{\Gamma(n+\nu+1/2)} (2a)^{-\nu} {}_2F_2 \left(\frac{1}{2} - \nu + n, \frac{1}{2} - \nu - n; 1 - \nu, 1 - 2\nu; 2a \right) \}$$

A /6.1/ sor konvergenciáját [9] munkánkban bizonyítottuk be. Eredményünk szerint $C_n^{(\nu)}(a)$ -ra érvényes a következő aszimptotikus formula:

$$C_n^{(\nu)}(a) = e^{-3(2a)^{1/3}} n^{2/3} O(n^{-2/3}), \quad n \rightarrow \infty \quad /6.2/$$

A $C_n^{(\nu)}$ számok rekurziós képletét ugyancsak Y.L.Luke és J.Wimp határozták meg elsőként [8]. A képlet a következő:

$$p_0 C_n^{(\nu)} - p_1 C_{n+1}^{(\nu)} + p_2 C_{n+2}^{(\nu)} - p_3 C_{n+3}^{(\nu)} = 8a (C_{n+1}^{(\nu)} + C_{n+2}^{(\nu)}) \quad /6.3/$$

A /6.3/-ban szereplő $p_k (k=0,1,2,3)$ számok azonosak az /5.7/ alattiakkal.

Függelék

Egészindexű $J_\nu(x)$ és $I_\nu(x)$ függvények Csebisev-sorfejtésének együttthatóit zárt /Bessel-függvényt tartalmazó/ formában lehetséges megadni. Ezt a számítást végezzük el itt. A $\nu = k$ helyettesítés után a /2.3/ képletet vizsgáljuk meg.

$$C_n^{(k)}(a) = \frac{2\Gamma(k+1)}{\Gamma(k+1/2)\Gamma(1/2)} \int_0^1 (1-t^2)^{k-1/2} J_{2n}^{(k)}(at) dt.$$

Ezt az integrált egy egyszerű azonosság segítségével fogjuk kiszámítani. Tekintsük a következő azonosságot:

$$x^k = 2^{-(2k-1)} \left\{ \frac{1}{2} \binom{2k}{k} + \sum_{\ell=1}^k \binom{2k}{k-\ell} T_\ell^{(k)}(x) \right\}.$$

Legyen $x = 1-t^2$. Ekkor $T_\ell^{(k)}(1-t^2) = (-1)^\ell T_\ell^{(k)}(t^2) = (-1)^\ell T_{2\ell}(t)$.
Tehát

$$(1-t^2)^k = 2^{-(2k-1)} \left\{ \frac{1}{2} \binom{2k}{k} + \sum_{\ell=1}^k (-1)^\ell \binom{2k}{k-\ell} T_{2\ell}(t) \right\}.$$

Szorozzuk ezt az azonosságot mindkét oldalán a

$$\frac{2\Gamma(k+1)}{\Gamma(k+\frac{1}{2})\Gamma(\frac{1}{2})} (1-t^2)^{-\frac{1}{2}} J_{2n}(at)$$

kifejezéssel, és integráljunk 0-tól 1-ig tagonként. A

$$\frac{2\Gamma(k+1)}{\Gamma(k+\frac{1}{2})\Gamma(\frac{1}{2})} \int_0^1 (1-t^2)^{-\frac{1}{2}} T_{2\ell}(t) J_{2n}(at) dt = \frac{2^{2k}}{\binom{2k}{k}} J_{n+\ell}\left(\frac{a}{2}\right) J_{n-\ell}\left(\frac{a}{2}\right)$$

azonosság segítségével [10], $C_n^{(k)}(a)$ az alábbi explicit alakban írható fel:

$$C_n^{(k)}(a) = \frac{1}{\binom{2k}{k}} \left\{ \binom{2k}{k} J_n^2\left(\frac{a}{2}\right) + 2 \sum_{\ell=1}^k (-1)^\ell \binom{2k}{k-\ell} J_{n+\ell}\left(\frac{a}{2}\right) J_{n-\ell}\left(\frac{a}{2}\right) \right\}$$

Speciálisan $k=0$ esetén:

$$C_n^{(0)}(a) = J_n^2\left(\frac{a}{2}\right), \quad n=0, 1, 2, \dots,$$

összhangban /1.4/-el. Továbbá $k=1$ esetén:

$$C_n^{(1)}(a) = J_n^2\left(\frac{a}{2}\right) - J_{n+1}\left(\frac{a}{2}\right) J_{n-1}\left(\frac{a}{2}\right), \quad n=1, 2, \dots,$$

$$C_0^{(1)}(a) = J_0^2\left(\frac{a}{2}\right) + J_1^2\left(\frac{a}{2}\right).$$

Analog képletet lehet nyerni $I_k(x)$ Csebisev-sorfejtési együtthatójával kapcsolatban is. A /4.3/ alatt szereplő $d_n^{(k)}(a)$ számokat /a levezetést mellőzve/ az alábbi explicit formában adhatjuk meg:

$$d_n^{(k)}(a) = \frac{1}{\binom{2k}{k}} \left\{ \binom{2k}{k} I_n^2\left(\frac{a}{2}\right) + 2 \sum_{\ell=1}^k (-1)^\ell \binom{2k}{k-\ell} I_{n+\ell}\left(\frac{a}{2}\right) I_{n-\ell}\left(\frac{a}{2}\right) \right\}$$

Speciálisan $k=0$ esetén:

$$d_n^{(0)}(a) = I_n^2\left(\frac{a}{2}\right), \quad n=0, 1, 2, \dots$$

Továbbá $k=1$ esetén:

$$d_n^{(1)}(a) = I_n^2\left(\frac{a}{2}\right) - I_{n+1}\left(\frac{a}{2}\right) I_{n-1}\left(\frac{a}{2}\right), \quad n=1, 2, \dots$$

$$d_0^{(1)}(a) = I_0^2\left(\frac{a}{2}\right) - I_1^2\left(\frac{a}{2}\right).$$

I r o d a l o m

- [7] Németh Géza: Bessel-függvények Csebisev-sorfejtése I.
KFKI Közl. 14, 157. /1966/
- [8] Luke, Y.L., Wimp, J.: Jacobi Polynomial Expansions.
Mathematics of Computation 17, 395 /1963/
- [9] Németh Géza: A $\psi(a, c; x)$ függvény polinomapproximációjáról.
KFKI Közl., 13, 163 /1965/
- [10] В.А. Диткин, А.П.Прудников: Интегральное преобразование и операционное исчисление. Москва, Физматгиз. 1961, 445 стр.

Érkezett: 1966. máj. 12.

KFKI Közl., 14.évf. 5.szám, 1966.

HURST-TIPUSU PROPORCIONÁLIS SZÁMLÁLÓ ÉS DIGITÁLIS KIÉRTÉKELŐ BERENDEZÉS GYORSNEUTRONOK ABSZOLUT DÓZISÁNAK MÉRÉSÉRE

Irta: Biri János és Deme Sándor

Összefoglalás

Megvizsgáljuk a gyorsneutronok testszövetben létrehozott abszolút dózisának mérési feltételeit, leírjuk egy általunk épített Hurst-típusú proporcionális számláló konstrukcióját és bemérési adatait. Közöljük a fenti számlálóhoz készített digitális rendszerű amplitúdó integrátor részletes leírását. Befejezésül áttekintjük a berendezés felhasználási területét.

Bevezetés

A sugárvédelmi munkáknál és a radiobiológiai kísérleteknél szükséges a sugárzások, így a gyorsneutron sugárzás abszolút dózisának ismerete. A gyorsneutron sugárzás abszolút dózisának mérése csak az utóbbi évtizedben oldódott meg kielégítő pontossággal, elsősorban Hurst és Wagner munkássága nyomán [1, 2]. Az alábbi közleményben ismertetni kívánjuk a gyorsneutronok abszolút dózisának mérési elvét, a mérésre szolgáló, általunk megépített berendezést és a vele szerzett tapasztalatokat.

Vizsgáljuk meg, hogy a gyorsneutronok által létrehozott dózist milyen feltételek kielégítésével mérhetjük meg. Az egyszerűség kedvéért csak a gyorsneutronok első fizikai kölcsönhatásából eredő, ún. első ütközési dózis mérésének elvével foglalkozzunk.

A gyorsneutronok energiájuk zömét a testszövetben rugalmas szórással adják át. Ha a 0,5 MeV feletti, 14 MeV-ig terjedő energiatarományt vesszük figyelembe, akkor elegendő, ha csak a rugalmas energiaátadást vesszük számításba.

Rugalmas ütközésnél az átadott dózis $\text{rad/neutron.cm}^{-2}$ -ben

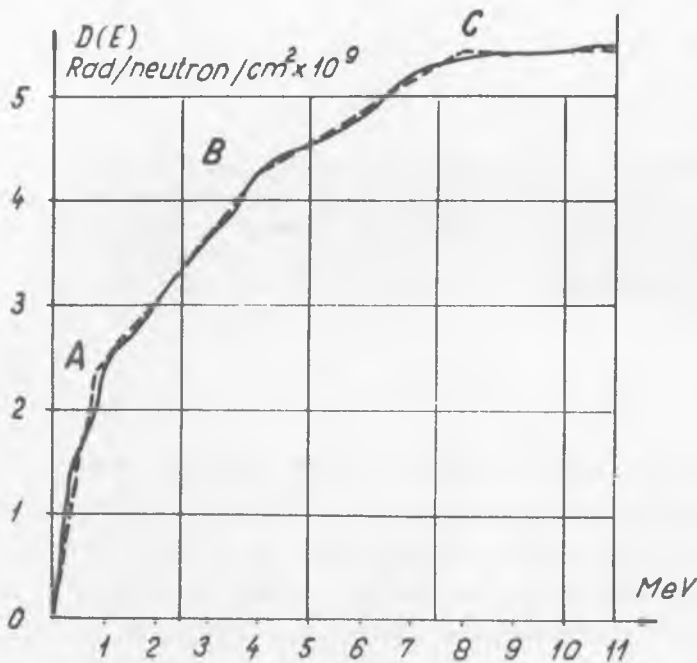
$$D = 1,6 \cdot 10^{-8} E_n \sum_j \frac{2 M_j}{(M_j + 1)^2} N_j \sigma_j(E),$$

ahol E_n a neutronok energiája MeV-ben,

M_j a j - edik fajta atom tömegszáma,

N_j a j - edik fajta atomok grammonkénti száma a vizsgált anyagban,

σ_j / E a j - edik fajta atom rugalmas szórás hatáskeresztmetszete cm^2 -ben.



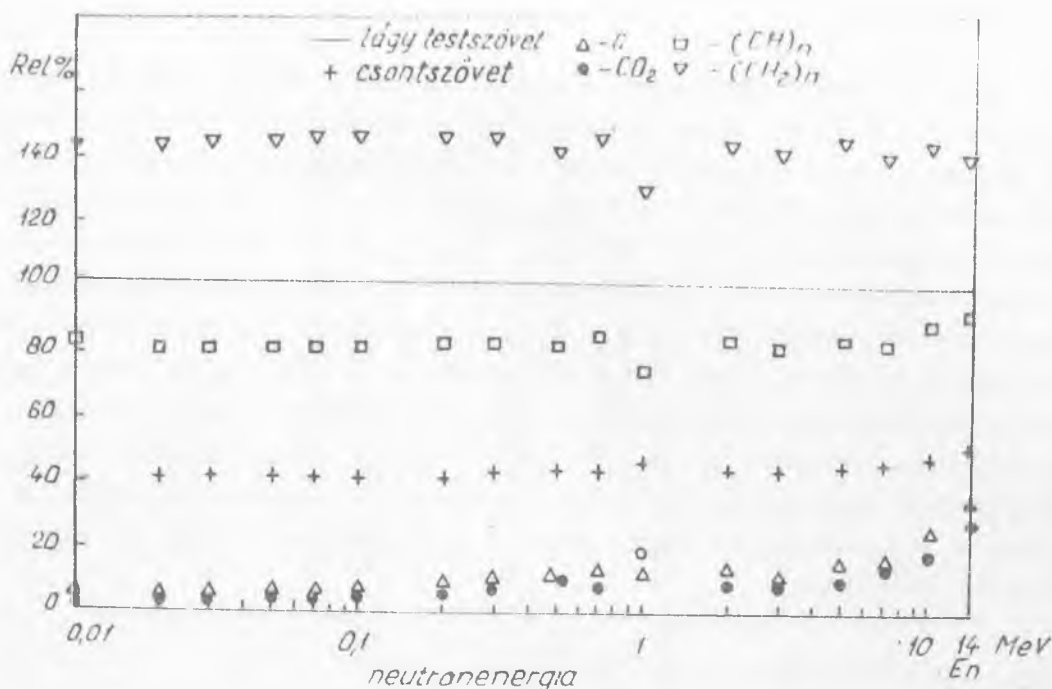
1. ábra

Lágy testszövet első ütközési dózisa a neutronenergia függvényében /ABC - lineáris közelítés/

gyület számos formában áll rendelkezésünkre /etilén gáz, polietilén, parafin stb./

Ha ilyen testekvivalens anyagból ionizációs kamrát készítünk, akkor az abban elnyelődő energia könnyen átszámítható testszövet dózisa [3]. Az ionizációs kamra abban az esetben alkalmas a gyorsneutronok abszolút dózisének mérésére, ha a gyorsneutronokat nem kíséri gamma-sugár-

A testszövetre számított első ütközési dózis energiatüggését az 1. ábra mutatja. Ha valamely anyaggal modellezni kívánjuk a testszövetet, akkor elegendő, ha a modellanyagban és a testszövetben elnyelt dózis energiatüggése azonos, nem szükséges, hogy az adott modellanyagban az energiaátadás számszerűleg is megegyezzen a testszövetnek átadott energiával. Néhány anyag által elnyelt - a testszövethez viszonyított - dózis energiatüggését a 2. ábrán mutatjuk be. Az ábra alapján láthatjuk, hogy a legmegfelelőbb egyszerű modellanyag, melyet dózismérési vizsgálatainknál felhasználhatunk, a CH_2 -tipusu vegyület. Ilyen ve-



2. ábra

Néhány anyag lágyszövethez viszonyított első
 ütközési dózisének energiafüggése

zás. Ha fellép kísérő gamma-sugárzás, de dózisintenzitása nem haladja meg jelentősen a neutronsugárzás dózisintenzitását, akkor a gamma-sugárzás hatása korrekcióba vehető egy neutronokra kevésbé érzékeny ionizációs kamra segítségével [3]. Ha nagy a neutron/gamma arány, akkor a korrekció csak nagyon nagy hibával végezhető el.

A neutronsugárzás abszolút dózisének mérésére alkalmasabb a proporcionális számláló. A proporcionális számlálót hasonló elv szerint kell alkalmazni, mint az ionizációs kamrát, azaz a proporcionális számlálóban a mérés tartama alatt leadott energiamennyiséget kell meghatározunk. A proporcionális számláló lehetővé teszi a gamma-sugárzás által kiváltott impulzusok diszkriminációját, mert a számláló helyes méretezése esetén a gyorsneutronok által meglökött magok lényegesen nagyobb impulzusokat szolgáltatnak, mint a gamma-sugárzás által kiváltott szekunder elektronok. A neutronsugárzás abszolút dózisének méréséhez olyan proporcionális számlálóra van szükségünk, melynek térfogata, illetve a benne levő gáz tömege pontosan ismert, ezenkívül lehetőség van az impulzusamplitúdó energiában történő hitelesítésére.

A fenti követelményeket kielégíti a Hurst által javasolt doziméter típus [1, 2]. Ez olyan proporcionális üzemmódban dolgozó számlálócső, melybe energiakalibráló sugárforrás van beépítve. A cső érzékenységének energiatartólanségét a testszövettel azonos energiatartólanségű polietilén falanyag és etilén töltőgáz, a meghatározott térfogatot a véghatást kiküszöbölő két elektrosztatikus "tércső" biztosítja. A kis gamma-érzékenység azzal érhető el, hogy a cső méretei a szekunder elektronok átlagos hatótávolságánál sokkal kisebbek. A fentiekben leirt eszköz alkalmas arra, hogy segítségével meg tudjuk mérni a meghatározott tömegű gáznak a protonok által időegység alatt átadott abszolút energiamennyiséget, azaz a gáztömegben a neutronoktól származó elnyelt dózist, míg a gamma-sugárzás által kiváltott elektronok hatása diszkriminációval elkülöníthető.

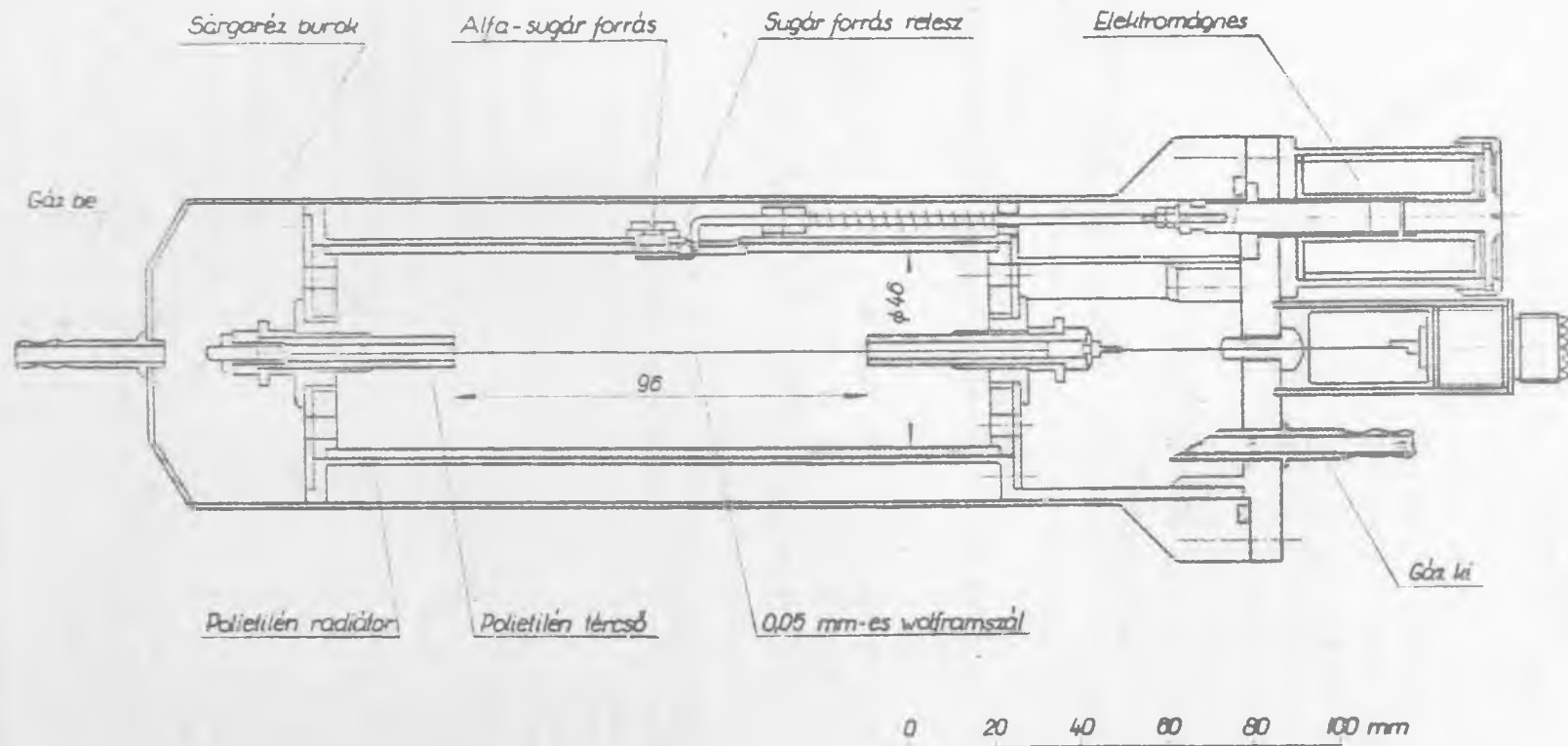
A proporcionális számláló leírása

Az általunk megépített számlálócső konstrukcióját a 3. ábra mutatja. A számlálócső belső fala 2 mm vastag polietilén, mely még a 14 MeV-es protonok esetén is telítési rétegvastagságot biztosít. A belső polietilén fal egy 1,5 mm vastag sárgarézcsőben helyezkedik el. Ebbe a csőbe van beszerelve egy kb. 0,01 μCi aktivitású Po-210 energiatartólansítító preparátum. A preparátum előtt egy fedőlemez van, melyet egy elektromágnes segítségével el lehet távolítani a forrás elől. A számlálócső anódszála 0,05 mm vastag molibdénből készült. A szál végén helyezkednek el a véghatást kiküszöbölő polietilén tercsővek. A cső áramlásos kivitelben, purum tisztaságú etilén gázzal működik. A csövet kívülről egy gázzáró, vákuumra leszivható sárgaréz köpeny borítja.

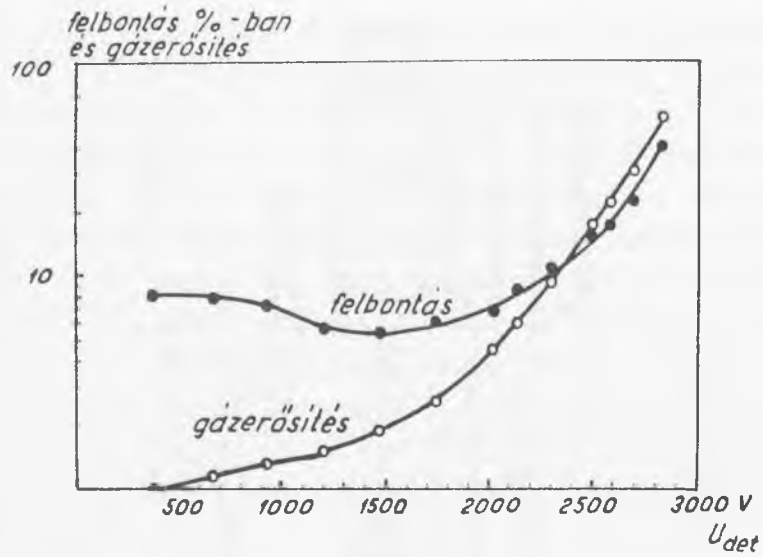
A cső mérete lehetővé teszi, hogy a Po-210 preparátumból kilépő alfa-részek még 700 mm-es külső nyomás esetén is teljes energiájukat a gázban adják le, így az impulzusamplitudó kalibráció nyomástól független.

Bemérési adatok

A számlálócsőbe beépített hitelesítő alfa-preparátummal felvettük a gázerősítés és a felbontóképesség feszültségfüggését /4. ábra/. A görbe alapján az optimális üzemi feszültség a felbontóképesség szempontjából 1500 V, ennél a feszültségnél azonban a gázerősítés kicsi, az előerősítő zaja miatt nagyobb gázerősítésre van szükség. A kiválasztott üzemi feszültség 2300 V, ennél a feszültségnél a gázerősítés értéke mint-



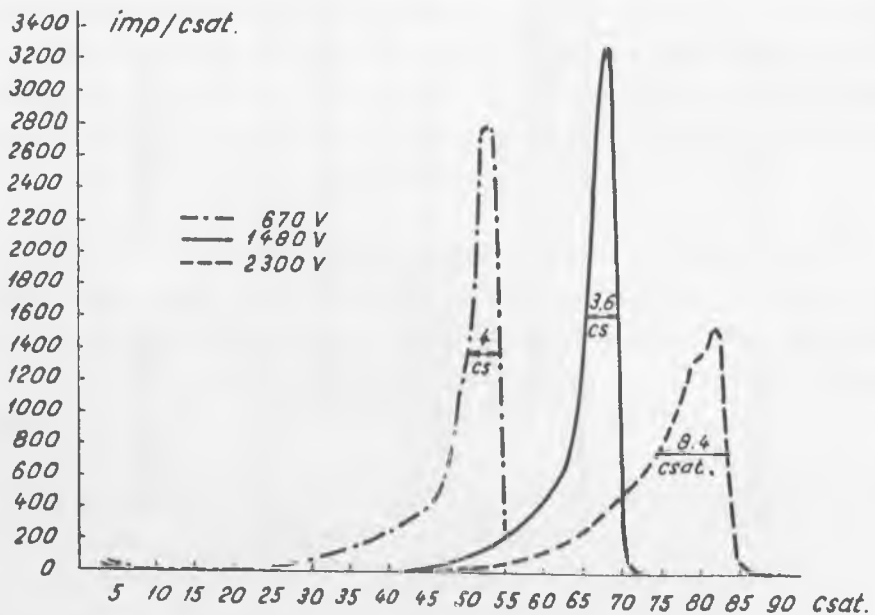
3. ábra
 Gyorsneutronok abszolút első ütközési dózisának mérésére
 szolgáló proporcionális számláló



4. ábra

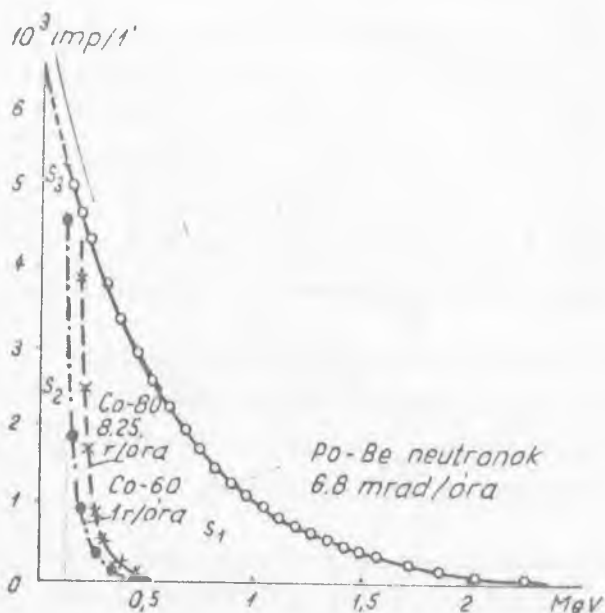
A gázerősítés és felbontóképesség energiafüggése

egy 9, a cső felbontóképessége kb. 10%. Meg kell jegyezni, hogy a spektrum alakja nem szimmetrikus /5.ábra/, ez arra mutat, hogy a gázerősítési feltételek nem azonosak az összes alfa-részek számára. A forrás előtt el-



5. ábra

Alfa-részek impulzusamplitudó spektruma különböző feszültségeknél .



6. ábra

Po-Be neutronokkal és különböző intenzitású gamma-sugárzással felvett integrális amplitudó spektrum

nél a sugárzás iránya a számlálócső tengelyre merőleges volt. A számlálócső érzékenységének irányfüggését a 7. ábra mutatja.

Megvizsgáltuk a cső gamma-sugárzás iránti érzékenységét. A 0,25 R/óra és 1 R/óra intenzitású, 1,25 MeV-es átlagenergiájú gamma-sugárzási térben felvett integrális impulzusamplitudó spektrumot a 7. ábra mutatja. Ezen mérések szerint, ha az impulzusamplitudó spektrumot sokcsatornás analizátorral vesszük fel, akkor a neutronsugárzás dózisintenzitását 100-szorosan meghaladó gamma-sugárzás sem zavarja a mérést, mert lehetőség van a gamma-sugárzás által befolyásolt tartományban a protonspektrum extrapolálására.

helyezett kollimátor biztosítja, hogy az alfa-részek pályájukat a gázban és ne a csőfalon fejezzék be, így az aszimmetria nem rövidebb pályahosszu alfa-részeknek tudható be. Az alfa-spektrum csúcsa és az átlagosan leadott alfa-energia között mintegy 10%-os különbség van, ezt a számításoknál és a méréseknél figyelembe vesszük, feltételezve, hogy az alfa-részek és a protonok által kiváltott töltéshordozók gázerősítése azonos.

A számlálócsővel 2300 V-os csőfeszültségnél, 1,5 μ s-es differenciálási és ugyanakkora integrálási időállandóval felvett, Po-Be neutronforrás által kiváltott integrális impulzusamplitudó spektrumot a 6. ábra mutatja. E mérés-



7. ábra

A számláló érzékenységének szögfüggése Po-Be neutronokra

Digitális amplitúdó integrátor

A leirtakból következik, hogy a nagy relatív dózisintenzitású gamma-sugárzóssal kísért gyorsneutron-sugárzás abszolút dózisintenzitásának meghatározása olyan elektromos mérési problémát vet fel, melynél amplitúdó /energia/ szerint kell összegezni a Hurst-féle számlálóban keletkezett töltésimpulzusok közül azokat, amelyek amplitúdója egy tetszőleges, előre beállítható küszöböt meghalad. A küszöb értékét a mérni nem kívánt gamma-háttér által kiváltott impulzusok határozzák meg.

A gyakorlatban az összegezés előtt a proporcionális számláló anódjára beérkező töltésimpulzusokkal arányos feszültségimpulzusokat állítunk elő töltésérzékeny erősítő segítségével, és csak a feszültségimpulzusok amplitúdó analizise után következik az összegezés.

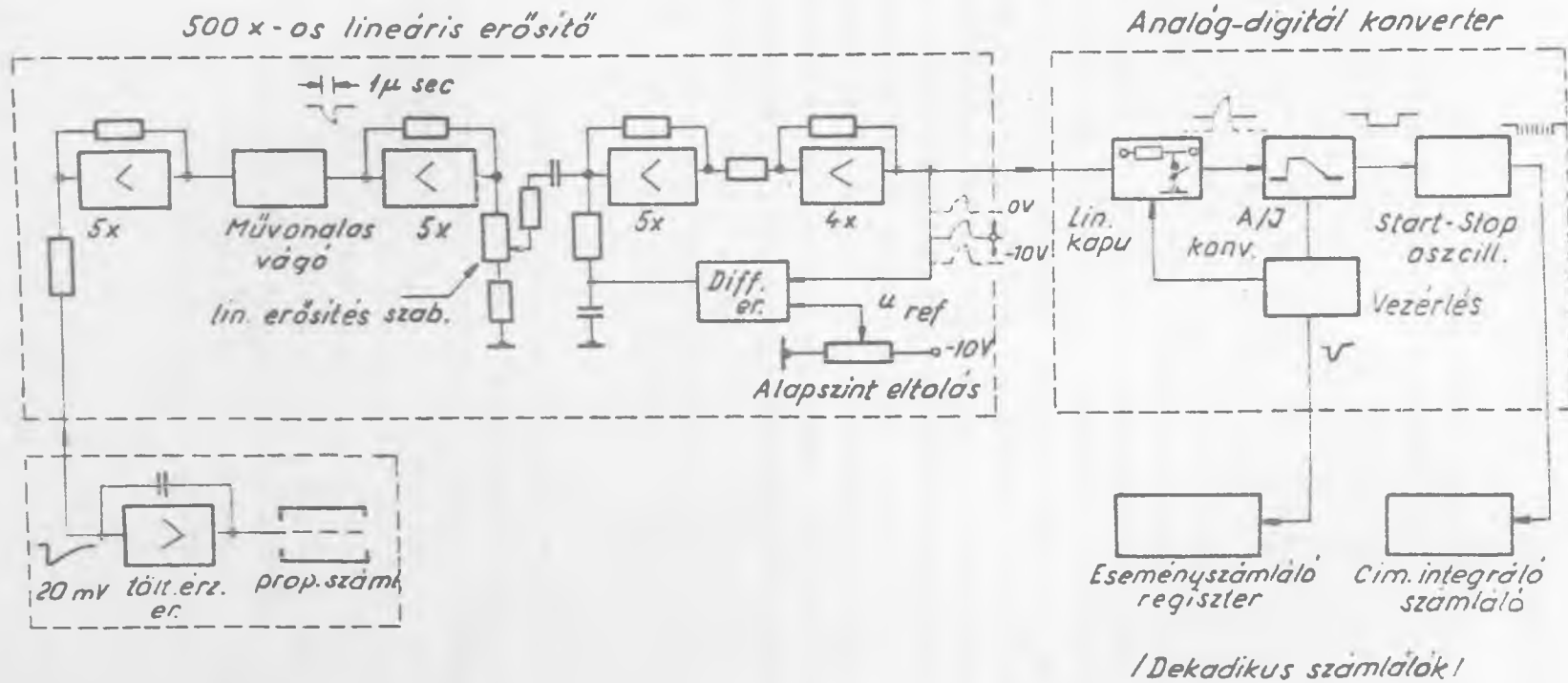
Az amplitúdó analizisnek az irodalomból ismert többdiszkriminátoros közelítő megoldását az általunk elérni kívánt kb. 2%-os mérési pontosság érdekében elvetettük [2] .

Az amplitúdó analizist végezhetjük sokcsatornás analizátorral. Ebben az esetben a kívánt pontosság biztosítható, azonban az eredmény kedvezőtlen formában jelenik meg, mert az amplitúdó szerinti válogatás megtörténik ugyan, de a dózis meghatározásához hosszadalmas számítással az alábbi súlyozott összeget kell képezni:

$$R = \sum_{i=1}^k (X_0 + X_i) n_i$$

- ahol n_i az i -edik csatorna tartalma,
- X_i az i -edik csatorna sorszáma,
- X_0 az alapkivonás csatornában kifejezve,
- k az a legnagyobb sorszámú csatorna, amelyben még $n_i > 0$.

Jelentős anyagi ráfordítást takaríthatunk meg és a mérési eredményt is kedvezőbb formában kapjuk, ha a mérést a 8. ábra szerinti digitális amplitúdó integrátorral végezzük. Ennek az egységnek az egyes fokozatai megegyeznek egy sokcsatornás analizátornak az analóg-digitál konverzióhoz használt bemenőfokozataival [4] . Az eltérés csupán a konverziót követő adatkezelésben van. Az adatok nem ferritmátrixos tárolóba, hanem dekadikus számlálóba kerülnek, ez azonban az amplitúdó-mérés pontosságát már nem érinti.

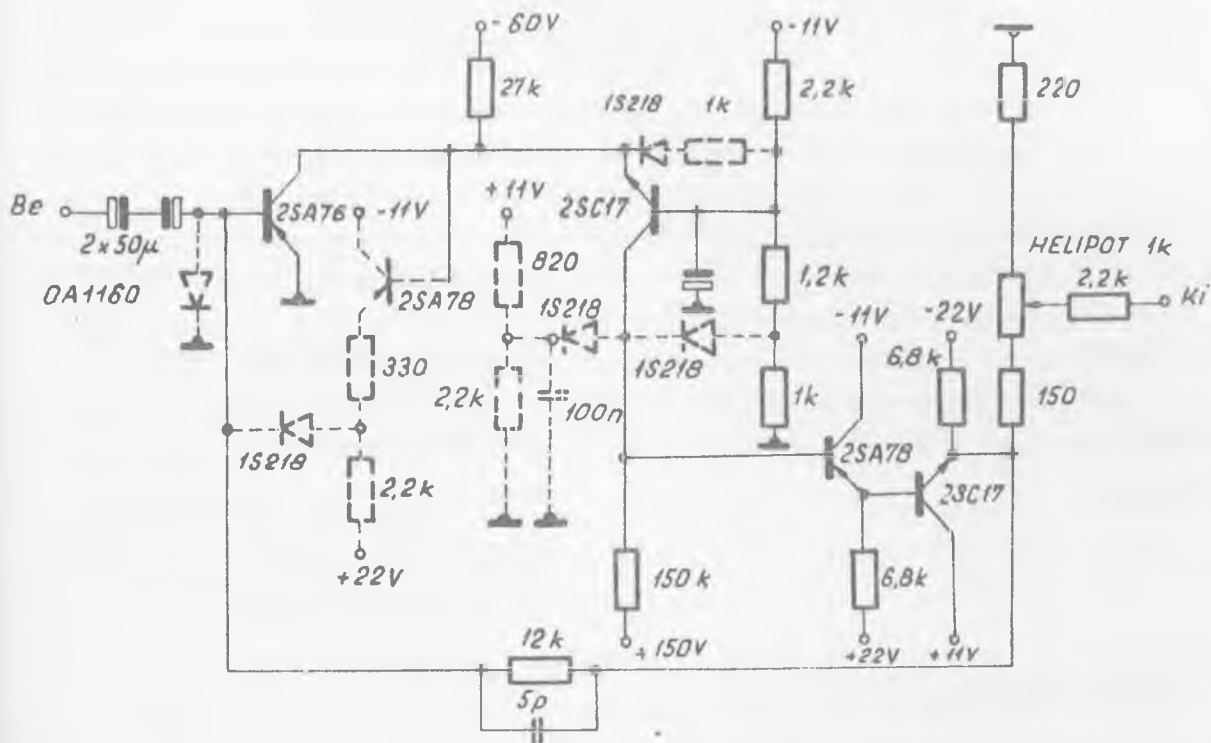


8. ábra
A digitális integrátor blokksémája

Az amplitudó összegzés menete

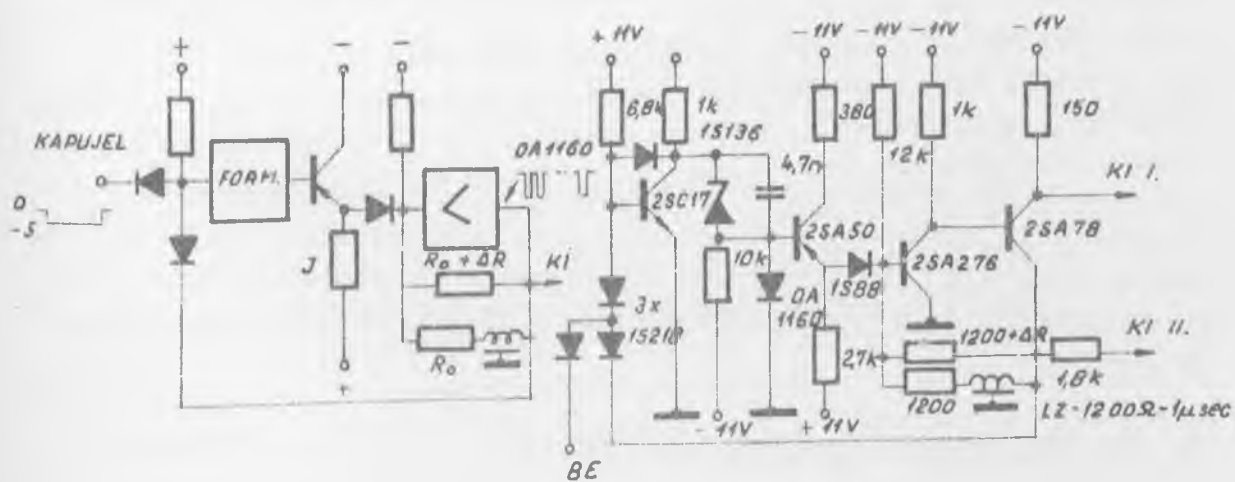
A proporcionális számláló anódszálához egy kiszaju töltésérzékeny erősítő csatlakozik, így a detektorban keletkező töltésimpulzust jó jel/zaj viszony mellett gyűjthetjük be. A kimenő impulzusok maximális amplitudója a fokozat után Po-Be neutronok esetén mintegy 10-20 mV. Az analóg-digitál konverter bemenetén a szükséges jelszint max. 10 V-os, ezért a detektor és a konverter közé lineáris erősítőt kell iktatni. Az erősítő bemenőfokozata 5-szörös erősítésű műveleti erősítő, amely még tartalmaz egy művonalas impulzusrövidítő áramkört [5]; a következő fokozat ismét egy 5-szörös erősítésű műveleti erősítő /9. ábra/. Ebben az erősítés folyamatos, lineáris változtatását biztosító helipotós impulzusosztó kapott helyet, melynek maximális leosztása 1:5. Az erősítő végfokozata 20-szörös erősítésű, szervoerősítővel stabilizált kimenőszintű erősítő [6, 7]. A kimenőszint a szervoerősítő referenciaszintjének változtatásával 0 V-tól -10 V-ig tetszőlegesen beállítható. Mivel az analóg-digitál konverter az impulzusoknak csak a 0 V-nál pozitívabb szakaszát méri, ez a rendszer egy változtatható nagyságu alapkivonás, energiaküszöb beiktatását teszi lehetővé. Az analóg-digitál konverter felépítése szokásos. A konverter az impulzuserősítés tartamára tiltó lineáris kaput, az impulzussal, ill. az impulzusnak a 0 V-nál pozitívabb szakaszával arányos időtartamu kapujelet előállító amplitudó-idő konvertert és a kapujelet digitális mérésére szolgáló start-stop oszcillátort /0,5 Mc/ tartalmaz /10. ábra/.

Az oszcillátor kimenetéhez kapcsolódik egy dekadikus számláló. Ez a számláló az egyes bemenőimpulzusokhoz tartozó címsorozatokot összegzi, és az alapkivonásból származó korrekció után a mérendő energiával arányos mennyiséget mutat. Az analóg-digitál konverter vezérlő, formáló áramköréhez csatlakozik még egy eseményszámláló regiszter, amely minden küszöb feletti impulzust megszámlál, tehát lényegében az "impulzuscsomagok" számát regisztrálja, hogy a kiértékelésnél a szükséges korrekció elvégezhető legyen. A korrekciónál a címet összegző regiszter tartalmát megnöveljük a beállított kivonóküszöb csatornában kifejezett értékének az eseményszámláló regiszter tartalmával való szorzatával.



9. ábra

A helipotos osztást vezérlő 5-szörös erősítésű fokozat



10. ábra

Start-stop oszcillátor

A megépített digitális amplitudó integrátor
/8. ábra/ főbb műszaki adatai

Erősítő

Erősítési tényező:	500
Erősítés állítás:	Átkapcsolhatóan és folyamatosan helipottal
Formálás:	Egyszeres művonalas vágás /T = 1, μ s/
Bemenőjel:	Negatív: max. 20 mV
Kimenet:	Pozitív; 10 V / 0 V alapszint/ 20 V / - 10 V alapszint/ /A kimenő alapszint 0 V és -10 V között állítható, csatolás az A/D konverterhez DC./

Analóg-digitál konverter

Csatornaszélesség:	200 mV
Diszkr. szintek száma:	max. 50
Mérési holtidő:	5 + n.2 μ s / n az éppen mért impulzus nagyságától függően 1-50/
Integrális linearitás:	+ 0,5% /az erősítővel együtt/
Alapkivonás:	Az erősítő kimenőszintjétől függően 0 - 10 V között változtatható.
Stabilitás:	0,5%/10 C ⁰

Az 500-szoros erősítő és az analóg-digitál konverter 4 db 175x200 mm-es nyomtatott kártyán épült meg, tápegységekkel együtt is könnyen hordozható egységet képez és feleslegessé teszi az igen költséges és méretben is jelentős sokcsatornás analizátorok ilyen célú alkalmazását.

Kiértékelési módszer, összehasonlító mérések

Bemérésnél a számlálócsőnek átadott energiát a sokcsatornás analizátorral felvett spektrum alapján számítottuk ki, emellett egyidejűleg

az amplitudó integrátorral is mértük. Az amplitudó integrátor cím integráló számlálója a beérkezett jelek amplitudójával és számával arányos számú kimenőimpulzust mér, így a 6. ábrán a görbe S_1 -gyel jelölt területével arányos impulzusszámot kapunk. Az eseményszámláló által mért beütésszámmal és a diszkriminációs küszöbvel arányos tartományt a 6. ábrán S_2 -vel jelöltük. A mérési összeállítás mindössze az S_1 -mal jelölt tartományt nem méri, ezt a sokcsatornás analizátorral, gamma-háttér nélküli, lehetőleg hasonló energiaspektrumú forrással végzett mérés alapján vehetjük számításba. Ezen korrekció nagysága közelítőleg négyzetesen függ a diszkriminációs küszöbnek megfelelő energiától, értéke a számlálócső tengelyére merőlegesen beeső Po-Be neutronoknál 100 keV diszkriminációs feszültségnél 1,6%, 200 keV-nál 5,2%, 300 keV-nál 11,4%.

Sokcsatornás analizátorral és amplitudó integrátorral mért dózisadatok a korrekciók elvégzése után 1,2%-os eltérést mutattak, ez az eltérés még standardizációs méréseknél is rendszerint megengedhető.

A leírt Hurst-típusú számlálóval megmértük egy $1,2 \cdot 10^7$ neutron/s hozamú Po-Be forrás dózisintenzitását. A forrás neutronhozamát saját méréseink alapján $\pm 2\%$ -os pontossággal ismertük [8]. Egy Po-Be neutron által leadott átlagdózist $5,16 \cdot 10^{-9}$ rad értékűnek vettük [3]. A mért dózis a számítottnál 6%-kal volt kevesebb, a számlálócső falán elnyelődő és szóródó neutronokból eredő korrekció elvégzése után azonban a mért és számított dózis eltérése csak 3% volt.

A számláló felhasználási lehetőségei

A leírt proporcionális számláló 0,5 mrad/óra - 1 rad/óra intenzitástartományban alkalmazható gyorsneutronok abszolút első ütközési dózisének meghatározására. Ha a mérendő neutronok átlagenergiája lényeges eltérést mutat a Po-Be forrás neutronjainak átlagos energiájától, akkor figyelembe kell venni a korrekciós tényezők energiatfüggését. Ha a neutronok energiája kicsi /kevesebb, mint 2 MeV/, akkor az általuk kiváltott, illetve a radiátorból kilépő protonok átlagenergiája kicsi, így az energiadiszkrimináció miatti korrekció megnő. Ez a mérés pontosságát csökkenti, a gamma-sugárzás iránti relatív érzékenységet viszont növeli. 1 MeV-os neutronenergia alatt a számláló csak igen korlátozott pontossággal, 0,5 MeV alatt pedig már egyáltalán nem alkalmas dózismérésre.

Az összeállítást különböző rendszerű gyorsneutron dózis- és dózisintenzitásmérők rad-rendszerben történő hitelesítésére kívánjuk

felhasználni. A műszer abban az esetben alkalmazható abszolút dózismérőként, ha a mérendő neutronok átlagenergiája 2 - 14 MeV-os tartományba esik. Ha a neutronok átlagenergiája a fenti értéknél kisebb, akkor csak körültekintő vizsgálatok után tudjuk megállapítani a gyorsneutronok abszolút dózisértékét, nagy fontosságúvá válik a korrekciós tényezők megmérése, illetve kiszámítása. A műszer jól használható a neutronsugárzást lényegesen meghaladó dózisintenzitású gamma-háttér melletti mérésre is. Ilyen jellegű, a fenti műszerrel végzett kalibrációs mérésről már beszámoltunk [9].

Köszönetnyilvánítás

A szerzők köszönetüket fejezik ki Mészáros Istvánnak a számláló műhelyrajzainak elkészítéséért, Biró Jánosnak és Tonelli Miklósnak a számlálócső kivitelezéséért.

I r o d a l o m

- [1] Hurst, G.S.: Brit. J. Radiol., 27, 353 /1954/
- [2] Wagner, E.B., and Hurst, G.S.: Rev. Sci. Instr., 29, 153 /1958/
- [3] Makra Zs.: Atomtechnikai Táj., 6, 743 /1963/
- [4] NTA-256/512-típusú KFKI analizátor gépkönyv, KFKI, 1965.
- [5] Chase, R.L. and Svelto, V., IRE Trans., NS-9, 45 /1962/
- [6] Verweij, CERN 62-32 /1962/
- [7] Biri J., Blasowszky M. és Tarnay K. előadása, Symposium III. über Radioelektronik /Dresden, 1965/
- [8] Andrásfi A., Deme S. és Nagy Judit, KFKI Közl., 14, 267 /1966/
- [9] Деме Ш.: Дозиметр быстрых нейтронов Херста для измерения реакторов

4. Reaktorfizikai és Technikai Konferencia, Budapest, 1965. nov.

Érkezett: 1966. ápr. 5.

KFKI Közl., 14.évf. 5.szám, 1966.

RÁDIÓFREKVENCIÁS NEGATIV HIDROGÉN IONFORRÁS VIZSGALATA

Irta: Gombos Péter, Roósz József és Vályi László

Összefoglalás

Vizsgálatokat végeztünk rádiófrekvenciás, negatív ionforrással. Az áttöltést a hosszú csatornával rendelkező kiszívó elektródában kialakult H_2 gáz target segítségével végeztük. A forrásból 18 KeV-es energiával kilépő H^- nyaláb intenzitása $9 \mu A$, energiaszórása 300 eV, feltöltése 11 mrad, és a gázfogyasztás $20 \text{ cm}^3/\text{h}$. Az ionforrás élettartama több mint 500 óra.

Bevezetés

Negatív hidrogén ionok előállítására kétféle módszer ismeretes: a kisülési térben keletkezett negatív ionok közvetlen kiszívása és a pozitív ionok negatívra történő áttöltése.

Közvetlen kiszíváshoz nagy ionkoncentrációjú plazmát biztosító forrás szükséges. A gyakorlatban kétféle forrástípus vált be eddig, a Penning-típusú [1] és a duoplazmatron ionforrás [2].

Az áttöltéses negatív hidrogén ionforrások fő részei: pozitív ionforrás, előfókuszáló rendszer /mely esetleg el is maradhat/, és az áttöltési csatorna. Az ionforrás leggyakrabban duoplazmatron [3], de lehet Penning [4] vagy rf. típusú is [5]. Az áttöltő gáz általában H_2 [3]. Ujabban gőztargeteket is sikeresen alkalmaznak, főleg higany-, [6] és vízgőztargetet [7].

Az áttöltéses negatív ionforrások speciális típusánál a kiszívószonda csatornája egyben az áttöltő csatorna is [8]. Különösen előnyös lehet ez a megoldás rf. ionforrásoknál [9, 10, 11, 12], mert alacsony gázfogyasztás mellett egyszerű eszközökkel $10-20 \mu A$ H^- ionáram nyerhető.

A dolgozatban egy kis gázfogyasztású rf. szondás áttöltésű negatív hidrogén ionforrással végzett vizsgálatainkat ismertetjük.

A mérőberendezés leírása

A vizsgálatok során használt vákuumrendszereket és próbastandokat korábbi publikációinkban már ismertettük [13, 14]. Az ionforrás összeállítási rajza az 1. ábrán látható.

A kisülési edény tetejéhez forrasztóónnal fémsapkát rögzítettünk, a sapkához pedig hűtőbordákat csavaroztunk. Ezzel sikerült megakadályoznunk, hogy a ballon teteje a szekunder elektronok bombázása során olyan magas hőmérsékletre emelkedjen, mely a megbízható működést lehetetlenné teszi.

A kiszívócsucs méreteit úgy választottuk meg, hogy a csatornában kialakuló gáztargetvastagság a lehető legkedvezőbb legyen. A csucs furata $d = 2,5$ mm, hossza $l = 50$ mm. Az anód furatát $d_a = 4,5$ mm-re, az árnyékoló kvarclemézét $d_q = 6$ mm-re választottuk. Az optimális anódkatód távolságot $/h/$ kísérletileg határoztuk meg.

A kiszívócsucs alá elhelyezett ellenelektrodot az alaplemezhez rögzítettük. Ilymódon a kilépő negatív ionok energiáját meg lehetett kétszerezni, ami az ionnyaláb kis szögszórása érdekében látszott célszerűnek.

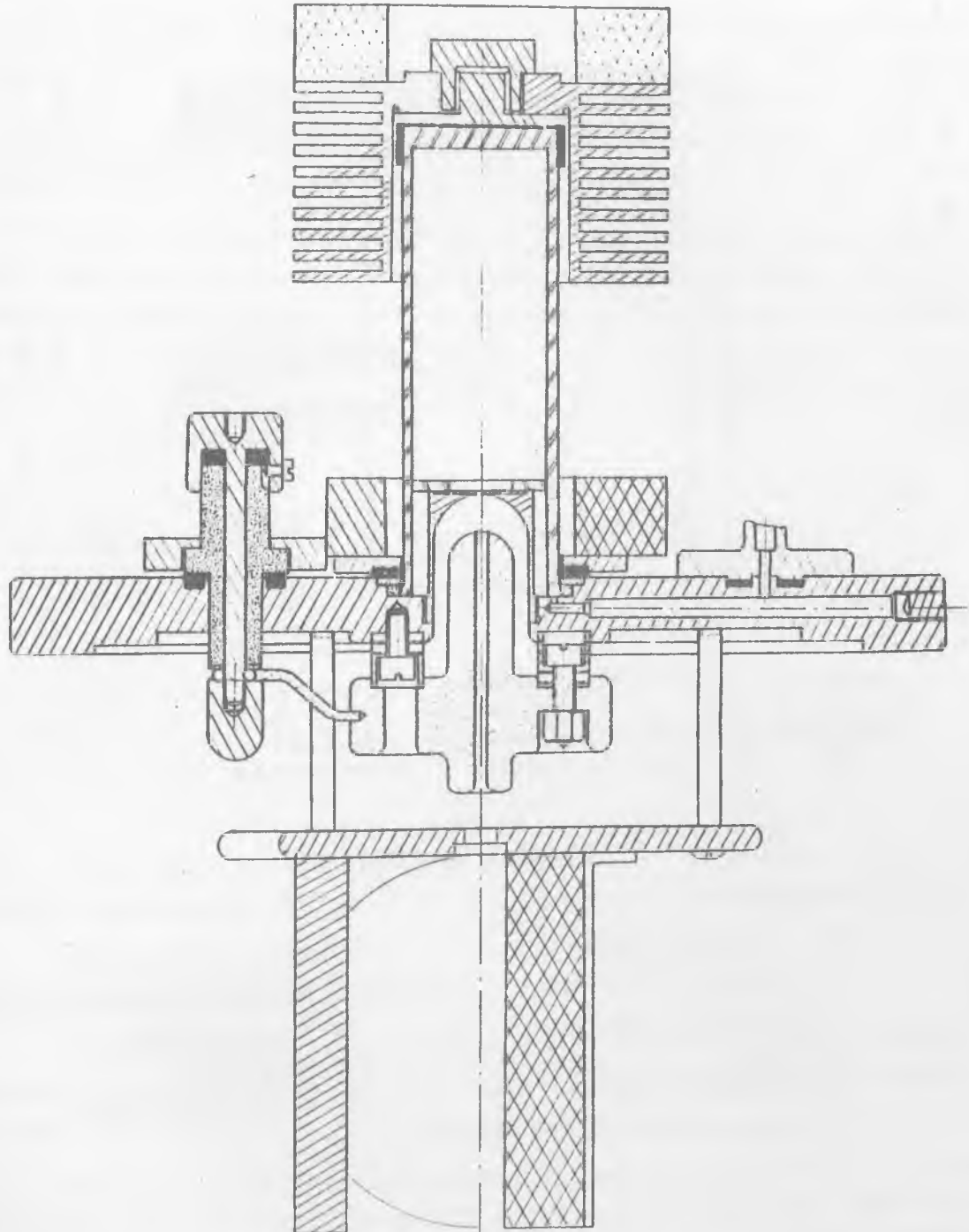
Közvetlenül az elektród alá szereltük az eltérítő mágnesset, mely két, 72 mm átmérőjű, 15 mm vastag B_a - f_e permanens mágnesből állt. 10 mm-es rés esetén, a térerősség a rés közepén kb., 600 Öe volt. A rés távolságát a mágnes tárcsák közé helyezett alumínium távtartókkal biztosítottuk, melyek egyben megakadályozták az eltérített elektronok és pozitív ionok szétszóródását.

Az árammérést teljesen árnyékolt, negatív ellenteres Faraday-hengerrel végeztük /2. ábra/.

Az ionnyaláb energiaeloszlásának mérése a [13]-ban leírt eszközökkel történt. A vizsgálatokhoz használt oszcillátor, valamint az elektromos tápegységek szintén azonosak voltak a [13]-ban használtakkal.

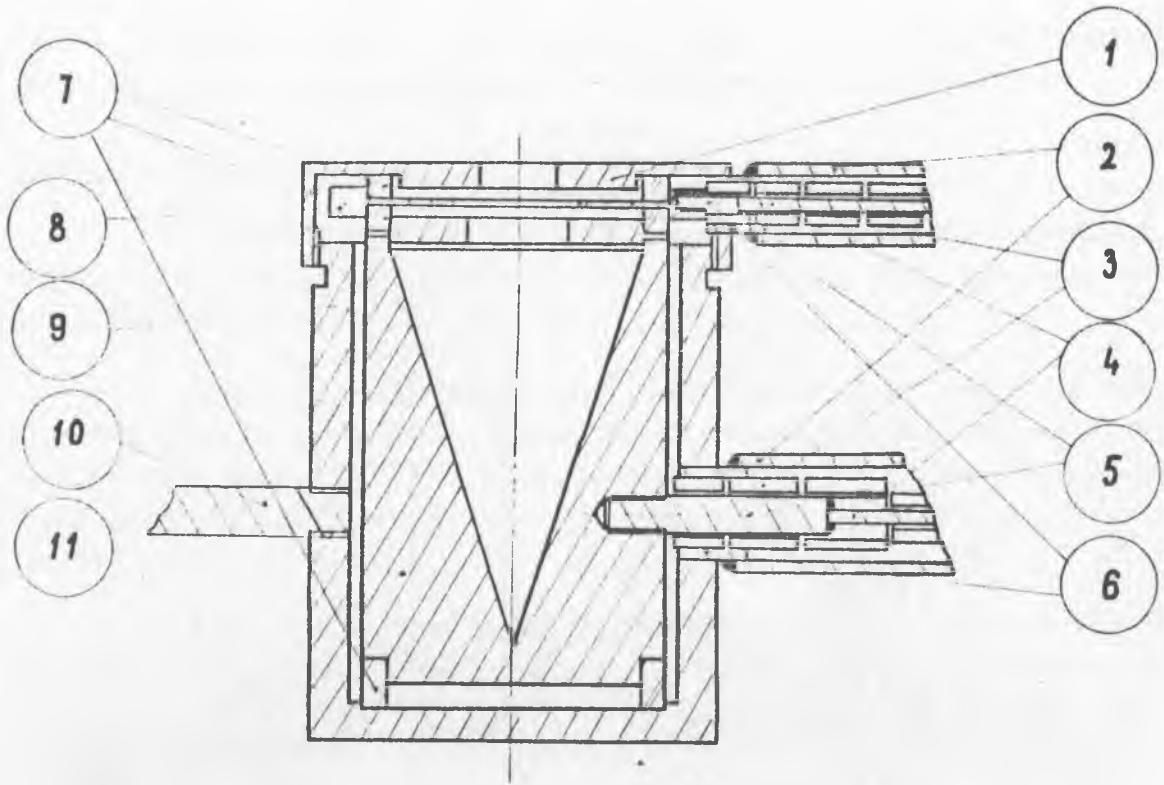
Mérési eredmények

Vizsgálatainknál abból a feltételezésből indultunk ki, hogy az az anód-katód távolság /melyet h -val jelölünk/ az optimális, melynél egy



Vas Sárgaréz Alum. Báműfernt Teflon Kvarc Pyrex Kerámia Gumi

1. ábra



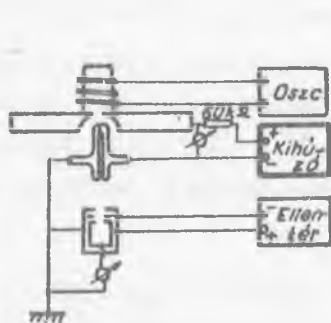
2. ábra
Árammérő berendezés

- | | |
|-------------------------------|-----------------------|
| 1/ Arnyékoló fedél | 7/ Szigetelő távtartó |
| 2/ Arnyékoló harisnya | 8/ Ellentér elektród |
| 3/ Szigetelő henger | 9/ Arnyékoló ház |
| 4/ Huzal | 10/ Mozgató rud |
| 5/ Érintkező csavar | 11/ Áramfelfogó edény |
| 6/ Arnyékoló érintkező henger | |

meghatározott kihuzófeszültség esetén a legtöbb pozitív ionáram nyerhető.

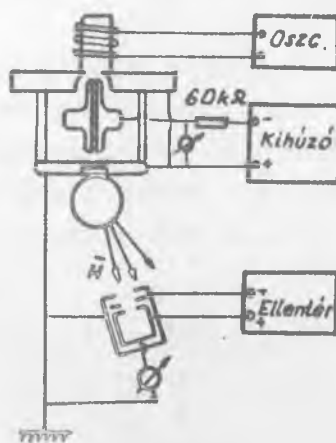
A kihuzófeszültséget a rendelkezésünkre álló tápegységből elérhető maximális érték határozta meg, ami 9 kV-nak felelt meg. Ez az érték valamivel alatta van a H_2 gázban fellépő negatívra történő áttöltődés $G_{1,-}$ hatáskeresztmetszet maximális értékéhez tartozó feszültségnek, mivel az 10-15 kV között mutat maximumot [15, 16]

A pozitív ionáram vizsgálatát a 3/a ábrán vázolt összeállítás mellett végeztük. Az anód-katód távolságot 3,5 - 7,5 mm között változtattuk. A maximális áramot $h = 7$ mm esetében értük el, így a további méréseket $h = 7$ mm beállítással mértük.



3/a ábra

Pozitív ionárammérés vázolata



3/b ábra

Negatív ionárammérés vázolata

Negatív ionnyaláb intenzitás mérése

A negatív hidrogén ionáramot a 3/b ábrán látható vázlat alapján összeállított berendezéssel mértük. A gázadagolást termodiffúziós nikkel szeleppel végeztük.

Az áram intenzitásának mérésénél a negatív nyaláb H_1^+ , H_2^+ , H_3^+ -ból keletkezett komponenseit külön mértük a kis bemeneti nyíláson árnyékolt Faraday-henger segítségével. A vizuális megfigyelést az árammérő henger bemeneti nyílását árnyékoló blendének willemtel történő bevonása tette lehetővé. Ily módon a mozgatható Faraday-hengert könnyen be lehetett állítani az egyes komponensek intenzitásának mérésére.

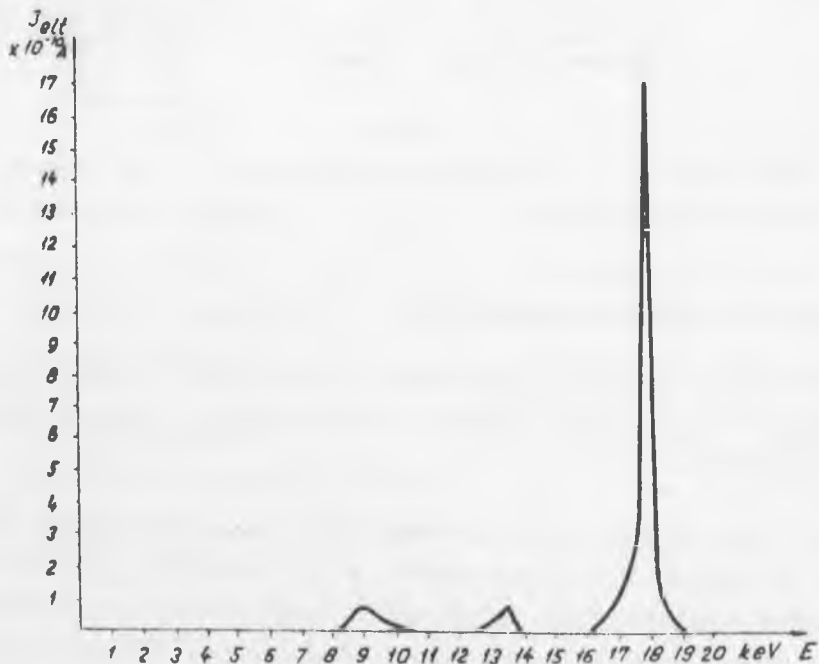
A legnagyobb intenzitású komponens, amely esetünkben a maximális energiájú komponens volt, az alábbi működési paraméterek mellett $9 \mu\text{A}$ intenzitású volt:

oszillátor-teljesítmény	140 W,
kihúzófeszültség	9 kV,
iváram	13 mA,
ellentér feszültség	-600 V,
gázfogyasztás	20 cm ³ /ó.

Az ionnyaláb feltágulásának mérése

Willemttel bevont lemez segítségével könnyen meg tudtuk határozni a forrásból kilépő negatív ion- és semlegesnyaláb komponensek feltágulását.

A nyaláb negatív ion komponense a kiszívócsucstól 150 mm távolságban, 6 mm átmérőjű foltot hozott létre, míg a nyaláb semleges része 21 mm átmérőjű foltot okozott. Ezekből az adatokból számoltuk a feltágulás félszögét, amely a negatív ionnyalábra 11 mrad-nak és a semleges nyalábnál 61 mrad-nak adódott.



4. ábra
Az ionnyaláb energia spektruma

A negatív ionnyaláb energiacelosztásának mérése

Az ionforrásból kilépő negatív ionnyaláb energiaspektruma a 4. ábrán látható. A továbbgyorsítás szempontjából érdekes 18 keV-es negatív ionokat tartalmazó spektrum félérték szélessége 300 eV. Ez a viszonylag nagyobb értékű energiaszórás egyrészt a kihuzófeszültséget szolgáltató tápegység nagyobb terheléséből adódó szüretlenség növekedésével, másrészt az energia-kétszereződéssel magyarázható.

Az ionforrás élettartama

Az ionforrás intenzitása és karakterisztikái - a gyorsítóberendezésen használva - több, mint 500 órás működés után nem változtak. Így a további használatra alkalmas állapotban van. A teljes élettartam meghatározása folyamatban van.

I r o d a l o m

- 1 Ehlers, K.: Nucl. Instr. 32, 309 /1965/
- 2 Collins, L.E., Gobbet, R.H.: Nucl. Instr. 35, 277 /1965/
- 3 Brooks, N.B., Rose, P.H. et al: Nucl. Instr. 28, 315 /1964/
- 4 Chateau-Thierry, A: C.R. Acad. Sci. 821 /1961/
- 5 Dandy, D., Hammond, D.P.: Nucl. Instr. 30, 23 /1964/
- 6 Фогел Я.М. и другие:ЖЭТФ XXVII.1957.98I
- 7 Dawton, R.H.V.M.: Nucl. Instr. 11 326 /1961/
- 8 Roos, M., Rose, P.H. et al: Rev. Sci. Instr. 36, 544 /1965/
- 9 Dawton, R.H.V.M.: Nucl. Instr. 24, 285 /1963/
- 10 Goldie, C.H.: Nucl. Instr. 28, 139 /1964/
- 11 Collins, L.F., Riviere, C.A.: Nucl. Instr. 4, 121 /1959/
- 12 Хирный Ю.М.:ПТЭ № 2 1958. 5I
- 13 Phillips, J.A., Tuck, J.L.: Rev. Sci. Instr. 27, 97 /1956/
- 14 Vályi L., Gombos P., Roósz J.: KFKI Közl. 12, 461 /1964/
- 14 Roósz J., Gombos P., Vályi L.: KFKI Közl. 14, 333 /1966/
- 15 Allison, S.K.: Rev. Mod. Phys. 30, 1137 /1958/
- 16 Sanborn, F.P.: Jour. of Appl. Phys. 31, 1592 /1960/

Érkezett: 1966 jul. 15.

KFKI Közl. 14.évf. 5.szám, 1966.

NAGYINTENZITÁSÚ RÁDIÓFREKVENCIÁS IONFORRÁS VIZSGÁLATA

Irta: Roósz József, Gombos Péter és Vályi László

Összefoglalás

A dolgozatban foglalkozunk egy nagyintenzitású, folytonos üzemi, pozitív hidrogénionokat adó, hosszú élettartamu, rádiófrekvenciás ionforrás kísérleti megvalósításával és működési karakterisztikáinak vizsgálatával. Méréseink alapján, az optimális működés adatai: 10 mA hidrogén ionáram, 30 atm cm³/ó H₂ gázfogyasztás, 140 W r.f. teljesítmény és 8 kV kihuzófeszültség.

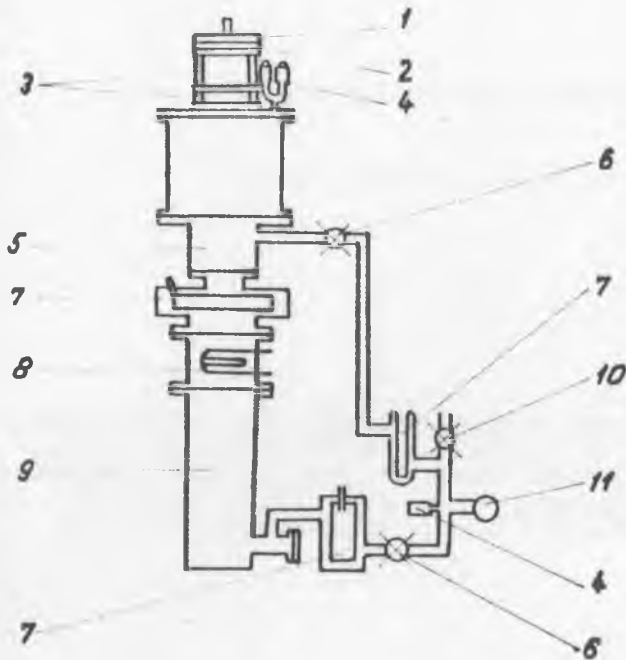
Bevezetés

Nagy intenzitású, jól fókuszálható ionnyaláb előállítását kis gázfogyasztással és kis r.f. teljesítménnyel, az /1/-ben leírt, elektrosztatikus gyorsítónál jól bevált, kis intenzitású és kis energiaszórású, hosszú élettartamu ionforrás továbbfejlesztésével láttuk célszerűnek megoldani. Ezen típus /1/ fő jellemzője, hogy anódja a katód közvetlen közelében van és nagyrészt ennek köszönheti hosszú élettartamát /1500 óra/.

Hasonló típusú, de más kiszívó elektróda formával rendelkező nagy intenzitású, folytonos üzemi ionforrás a /2/ és /3/ dolgozatban szerepel, azonban ezek egyike sem elégíti ki a fentebb felsorolt követelményeket. A /2/-ben leírt ionforrásnál, a 7 nyílással rendelkező kiszívó elektróda miatt, fókuszálási problémák lépnek fel. Rádiófrekvenciás teljesítménye is nagy /300 W/ és gázfogyasztásáról nem sokat lehet tudni, mert nem üzem közben mérték a 25 cm³/ó fogyasztást. Üzem közben ennek a háromszorosa is felléphet. A /3/-ban leírt ionforrásnak még nagyobb rádiófrekvenciás teljesítménye és gázfogyasztása van. /1000 W és 800 cm³/ó./ Ezért vált szükségessé a továbbiakban leírt ionforrás kidolgozása és vizsgálata.

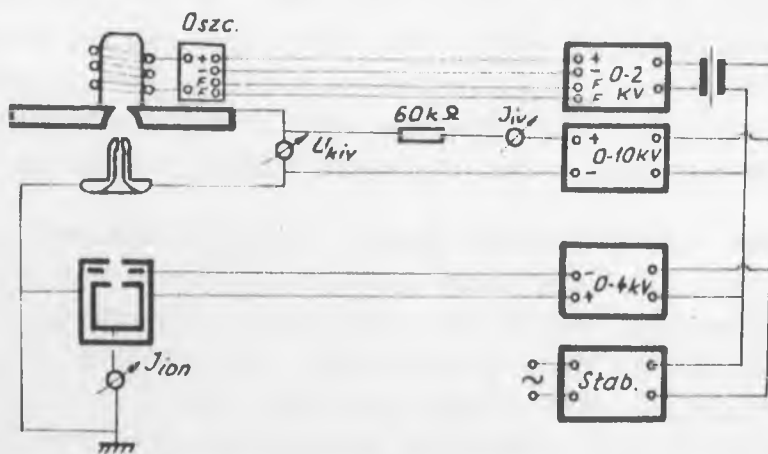
Kísérleti berendezés

A vizsgálatokhoz használt berendezés vákuumrendszerének vázlatos rajza az 1. ábrán, elektromos kapcsolása a 2. ábrán, az ionforrás rajza a 3/a ábrán látható. A hűtőbordával ellátott kisülési cső kvarcból készült. A gáz bevezetése a kisülési csőbe, az alaplemezen keresztül, a



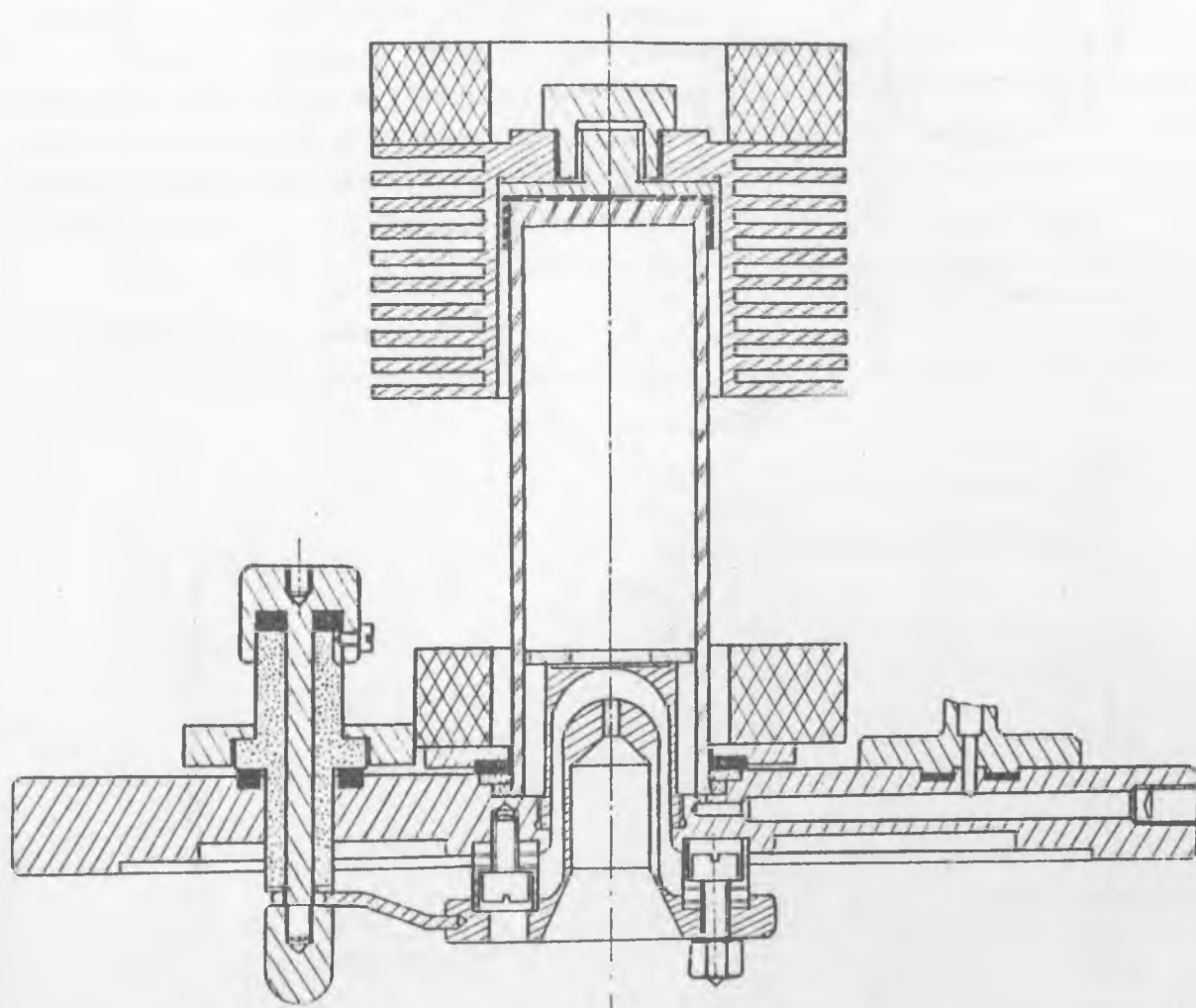
1. ábra

1. Ionforrás
2. Plexi szigetelő tárcsa
3. Üveghenger
4. Vácuummérő
5. Tányérszelep
6. Elővácuum csap
7. Cseppfolyós nitrogénes kifagyasztó
8. Freonos kifagyasztó
9. 1000 l/sec szívósebességű higany diffúziós szivattyú
10. Fellevegőző csap
11. 16 m³/h szívósebességű forgó szivattyú



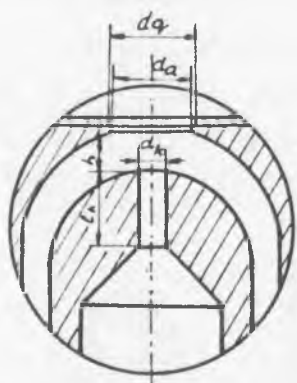
2. ábra

A mérőberendezés elektromos kapcsolásának blokk-sémája



        
Vas Sárqaréz Aluminium Báriumferit Teflon Kvarc Pyrex Kerámia Gumi

3/a. ábra

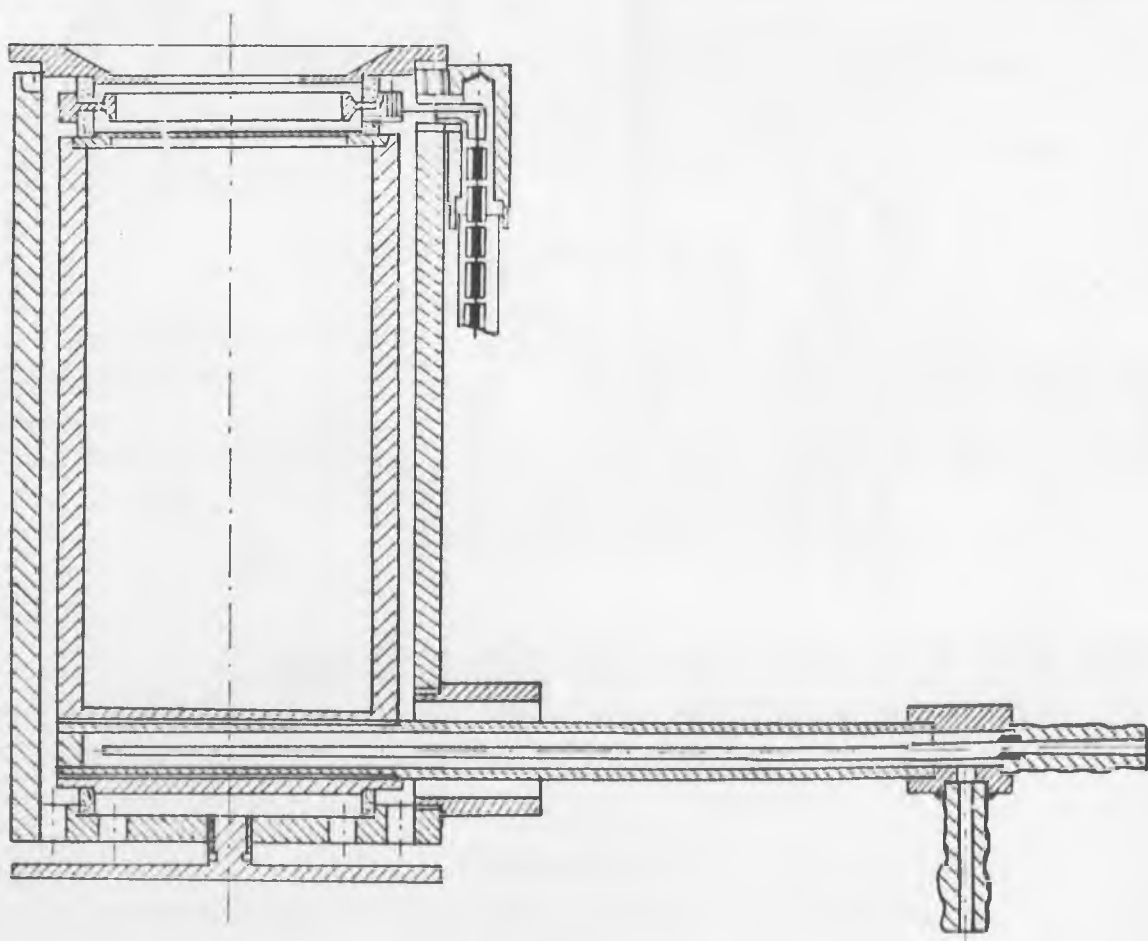


3/b. ábra

Az ionforrás geometriai paraméterei

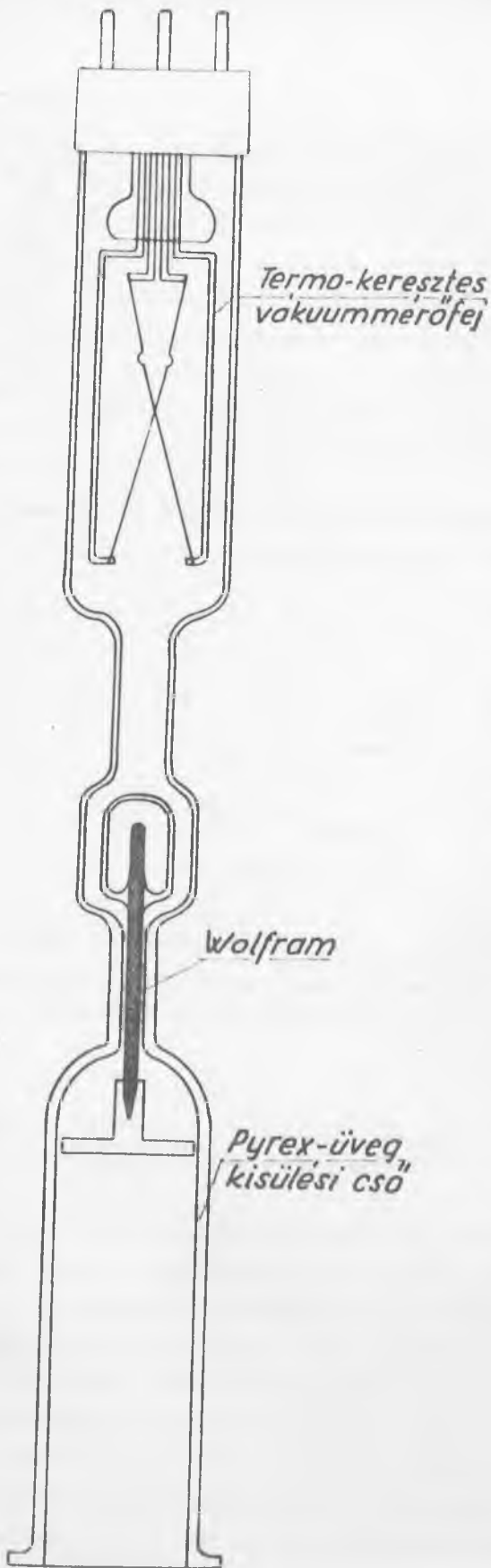
kisülési tér alsó részén történik. A gázbe-
ömlés szabályozását részben nikkelszeleppel,
részben túszeleppel végeztük. A két mód, az
ionforrás működésében nem okozott észreve-
hető különbséget. A kiszívó elektródák gömbi
geometriájuk. A kiszívórendszer geometriai
elrendezése a 3/b ábrán látható. Az anód fu-
ratát $d_a = 3,5$ -től 6 mm-ig változtattuk. Az
anód furat környékét a plazmától egy nagyobb
furatu kvarctárcsával árnyékkoltuk le. A ka-
tód nyílása $d_k = 2$ mm volt minden esetben.
A katódnyílás hosszát $l_k = 1$ -től 20 mm-ig
változtattuk.

A rádiófrekvenciás gázkisülést két
TC 90 6 kerámikus triódával rendelkező ellenütemű oszcillátor hozta



4. ábra

Nagyáramu Faraday-target



létre, 45 Mc frekvencián, 120-140 W teljesítménnyel. A mágneses kisülés esetében a két báriumferrit mágnesgyűrű tengelye megegyezett a kisülési csőével. A két gyűrű mágneses tere ellentétes irányú volt.

Az ionnyalábot előfókuszálás nélkül, a kiszívás után 40 mm-re elhelyezett targeten fogtuk fel. A nagy áramok mérésére elkészítettünk egy olyan Faraday-hengert, amelyet a bemeneti nyílásnál negatív ellentérblendével láttunk el a szekunder elektronok ellen és minden oldalról árnyékkoltunk a szóródó elektronok és ionok ellen. Az ionáram gyűjtő henger vízhűtéses és kivezetései árnyékkoltak. Szigetelői alumínium-oxid kerámia gyűrűk /4. ábra/. A 10^{-6} - 10^{-5} Hgmm-es vákuumot folyékony levegős kifagyasztóval ellátott higanydiffúziós szivattyú állította elő.

Az ionforrás gázfogyasztását olajos gázáramlásmérővel mértük és ezen kívül a kisülési csőben mért nyomásból számoltuk. A kisülési edényben a nyomást az 5 ábrán látható módon, a ballonhoz csatlakozó termokeresztéses fejjel mértük. A csatlakozásnál létesített szűkület és a beforrasztott wolfram-elektrod gondoskodott arról, hogy a kisülés ne terjedjen át a mérőfejbe. Az áramlásmérővel mért és a nyomásmérésből számolt gázfogyasztás-értékek jó egyezést mutatnak.

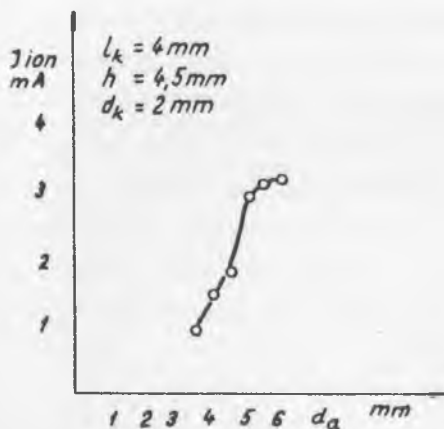
5. ábra

Kisülési edénnyel összeépített vákuummérő

Mérés

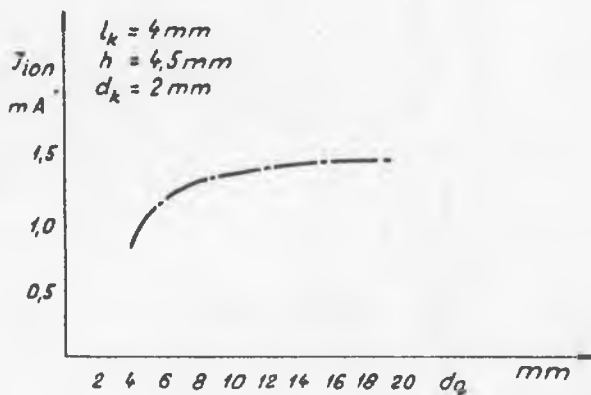
Az /1/-ben leirt kisintenzitású ionforrásból kiindulva, az intenzitás növelése érdekében az anód és katód furatát arányosan megnöveltük 2,5-szeresre. Így $d_k = 2$, $d_a = 5$ mm lett. Arányosan növelni kellett természetesen a kvarc-lyuk átmérőjét is, $d_q = 10$ mm-re. Mivel a hasonlósági törvény nem érvényes szigorúan /4/, azért ellenőriztük, hogy a nagyobb tértöltés esetében a $\frac{d_a}{d_k} = 2,5$ -es arány optimális-e. Ezt konstans d_k mellett, d_a változtatásával mértük. A mérés eredménye a 6. ábrán látható. Az ábra azt mutatja, hogy $d_a = 5$ után az áramnövekedés alig pár százalékos. Így a további mérésekhez a $d_a = 5$ értéket választottuk.

Megmértük az ionáramot az árnyékoló kvarclemezt furatának függvényében. Ez gyakorlatilag $d_q = 10$ mm-nél telítésbe megy /7. ábra/. Felté-



6. ábra

Az ionáram változása az anódfurat függvényében



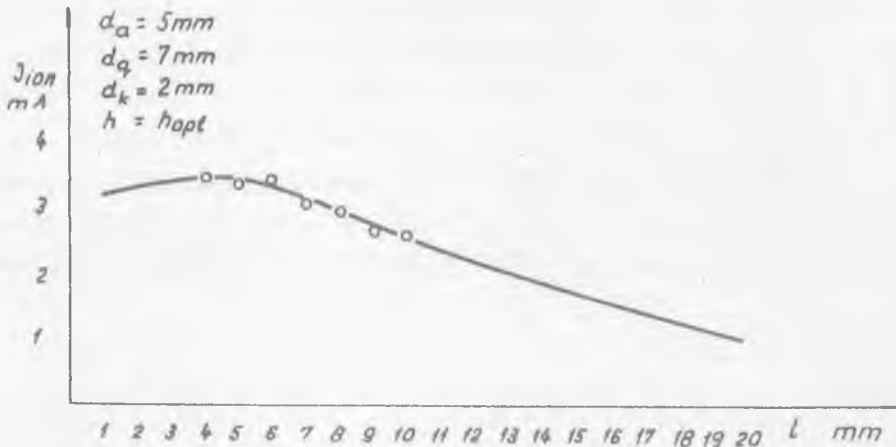
7. ábra

Az ionáram változása az árnyékoló kvarc furatának függvényében

telezhető, hogy az össz-ionáram növekedés a plazmaanód érintkezési felület növekedésével függ össze. A protonarány azonban az érintkezési felület növekedésével csökken. Azért, hogy a kiszívó környezetében a protonarány ne csökkenjen, a plazmaanód érintkezési felületét ezen a helyen csökkentettük / $d_q = 6$ mm/, ugyanakkor a kiszívónyilástól távolabb /az anód külső palástjánál/ megnöveltük, az árnyékoló pyrex-gyűrű külső átmérőjének csökkentésével. Méréseink azt mutatták, hogy ez esetben az össz-ionáram ugyanolyan értékű volt, mint a $d_q = 10$ mm esetében. Mivel a nagyobb intenzitású ionnyaláb csak nagyobb ionsűrűségű helyről nyerhető, a kiszívórendszert közelebb vittük a plazma nagyobb ionsűrűségű részéhez, majd az ionsűrűséget to-

tovább növeltük keresztirányu mágnes tér alkalmazásával és a rádiófrekvenciás tér növelésével. A nagyobb teljesítménnyel járó erősebb katódmelegedés miatt a katód szigetelő távtartót kicseréltük teflonról alumínium-oxid kerámiára.

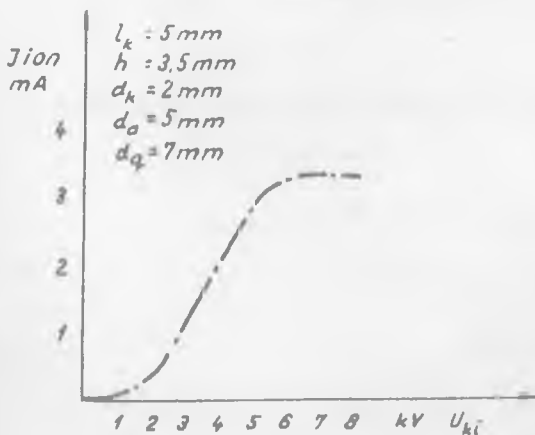
A kiszívócsatorna hosszának változtatásával $l_k = 1$ mm-től 20 mm-ig /8. ábra/ megállapítottuk, hogy $l_k = 5$ mm-es csatornán még átmegy a



8. ábra

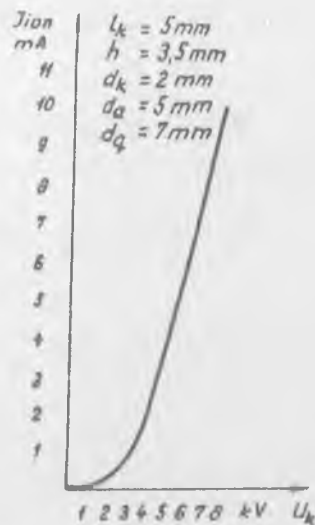
Az ionáram változása a csatornahossz függvényében

teljes ionáram, tehát nem érdemes rövidebb csatornával dolgozni, a gázfogyasztás növekedése miatt. A fentiek alapján beállított optimális paraméterekkel mágnes tér nélkül 3,2 mA maximális ionáramot kaptunk 125 cm³/ó



9. ábra

Ionáram - kihuzófeszültség karakterisztika mágnes nélkül



10. ábra

Ionáram-kihuzófeszültség karakterisztika mágnessel

gázfogyasztás mellett /9. ábra/. Ugyanezen paraméterek esetén mágnes tér alkalmazásával 10 mA ionáramot kaptunk 30 atm cm³/ó gázfogyasztás mellett /10. ábra/. Mindkét esetben 140 W-os oszcillátor adta a rádiófrekvenciás teljesítményt. Mint az ábrán láthatjuk, ez a görbe $U_k = 8$ kV-nál még nem érte el a telítettséget, tehát U_k növelésével I_{ion} még jelentősen növelhető lesz. A 30-40 Gauss mágnes térrel elért háromszoros áramnövekedés részben annak köszönhető, hogy a mágnesek úgy vannak elhelyezve, hogy a kisülési térben radiális irányú, míg a kihuzó terében tengelyirányú mágnes tereket adjanak. Ugyanis a kisüléshez az előbbi, a kihuzáshoz pedig az utóbbi irányú mágnes tere az optimális /5/. Ez a mágnes tere elrendezés megszüntette a szekunder-elektronok ballonylukasztó hatását is, mivel a szekunder-elektronok a tér eltérítő hatására nem fókuszálódnak egy pontban.

Kiértékelés

Láthatjuk, hogy a gömbi geometriával rendelkező hosszú élettartamu ionforrásnak a továbbfejlesztésével egy olyan nagyáramú ionforrás nyerhető, amely a gyorsítóknál előírt követelményeket minden tekintetben kielégíti. Nagyobb kihuzó feszültség alkalmazása esetén az ionáram még tovább növelhető, gázfogyasztása pedig csökkenthető, a csatornában megfelelő helyen elhelyezett blende segítségével, vagy a csatorna hosszának növelésével, ami az ionáramot még nem csökkentené jelentős mértékben, mivel az I_{ion}/U_k görbe az 5-6 mm környezetében még elég lapos /8. ábra/.

Megvizsgálva különböző szempontok szerint az ionforrás teljesítőképességét, a következőket kapjuk:

Az egységnyi gázfogyasztásra eső ionáram:

$$10 \text{ mA} / 30 \text{ cm}^3 = 330 \text{ } \mu\text{A} / \text{cm}^3.$$

Az egységnyi iváramra eső ionáram:

$$\frac{I_{ion}}{I_{iv}} = 10 \text{ mA} / 22 \text{ mA} = 0,46$$

ahol I_{iv} = a kisülésben folyó elektronáram.

Perveancia:

$$6 \cdot 10^{-7} \text{ A} \cdot \text{V}^{-3/2}$$

Élettartam:

az eddigi 300 órás élettartam-vizsgálat után az ionforrás elektródái és szigetelő alkatrészei a további működésre alkalmas állapotban vannak és így tovább működtetjük a teljes élettartam meghatározása céljából.

I r o d a l o m

- 1 Vályi L., Gombos P., Roósz J.: KFKI Közl. 12, 461 /1964/
- 2 А.Н. Сербинов, В.И. Морока П.Т.Э. 5. 1960. 27
- 3 Thonemann, P.C., Harrison, E.R.: AERE GP/R 1190.
- 4 Prelec, K.: Nucl. Instr. 26, 320 /1964/
- 5 Krammer, G., Benoit-Cattin, P. et al: Nucl. Instr. 30, 123 /1964/

Érkezett: 1966 máj. 12.

KFKI Közl. 14.évf. 5.szám, 1966.